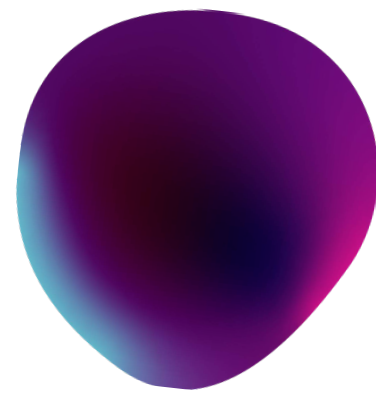


Генеративные модели для изображений



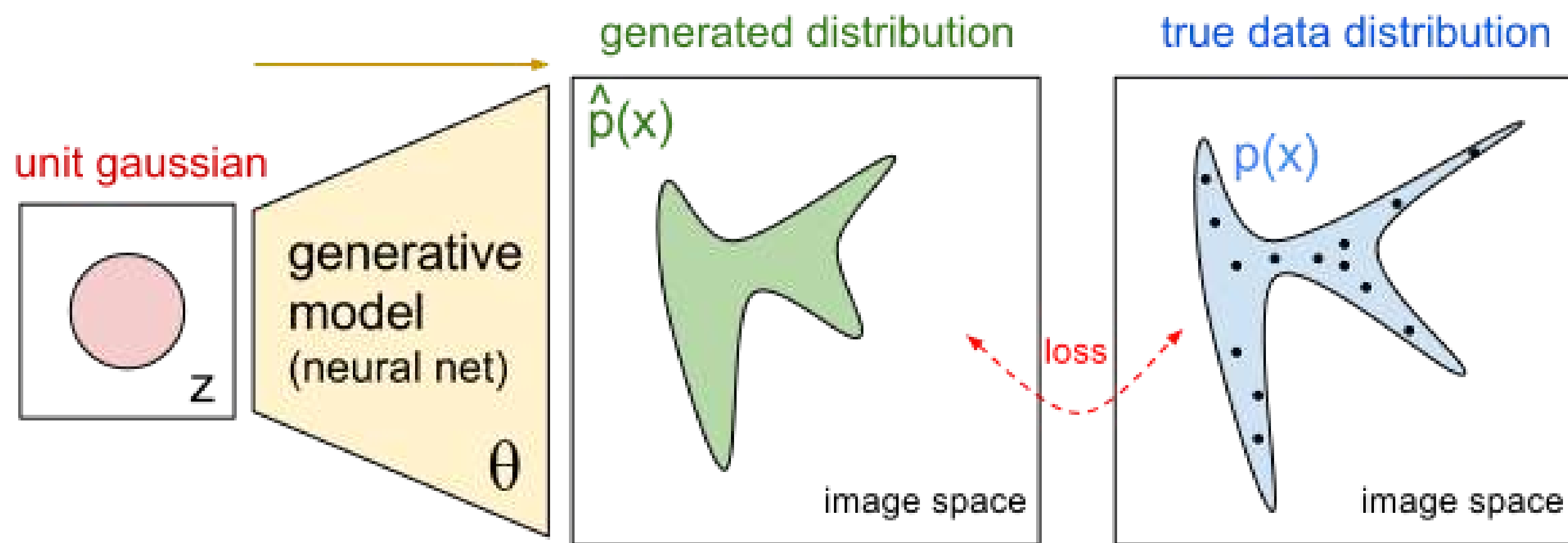
**Что вообще есть
генеративные
модели?**

The background features several abstract, organic shapes in shades of deep purple and blue. A large, irregular shape dominates the upper left, with a smaller, more circular shape to its right. In the bottom right corner, another partial shape is visible. The text is centered in the middle of the frame.

**“What I cannot create, I do not
understand.”**

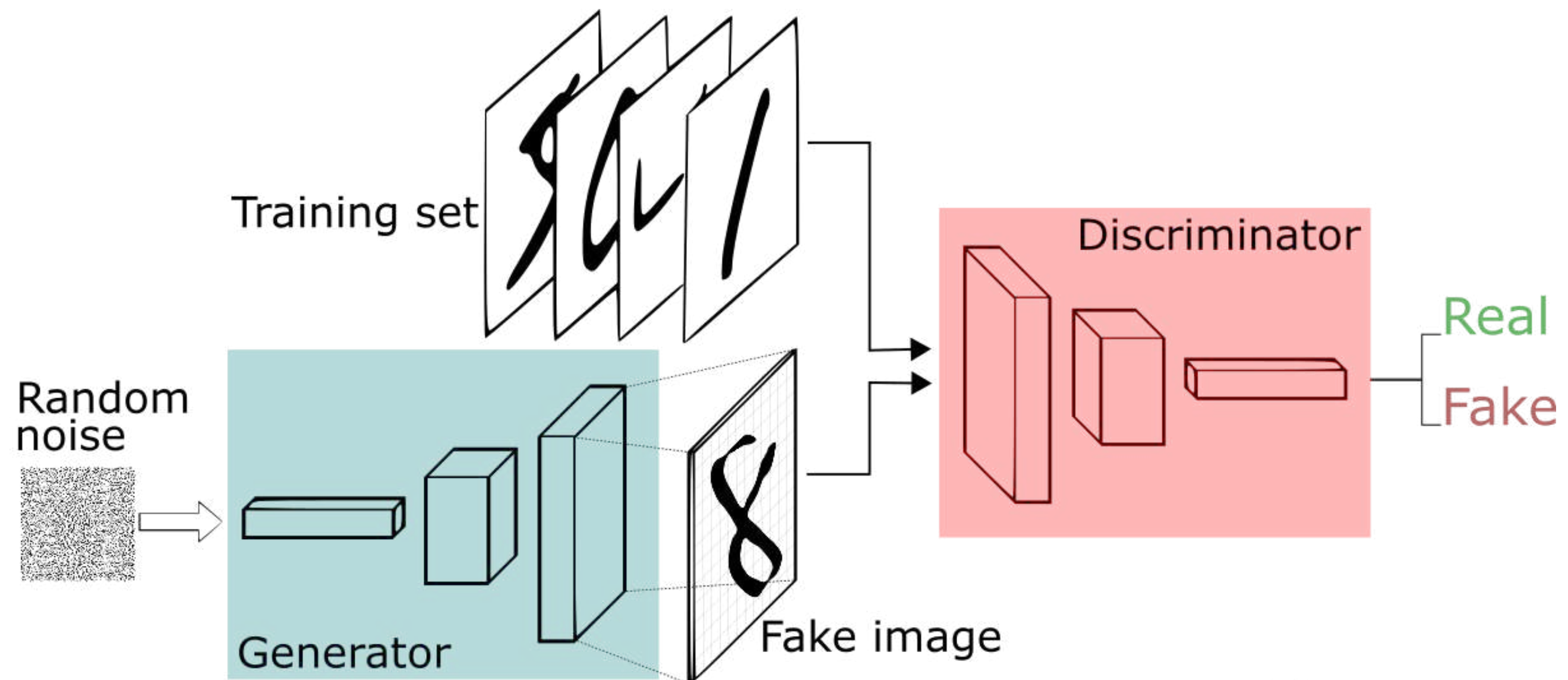
—Richard Feynman

Формулируем задачу



Generative Adversarial Networks

GAN



Игра

- $p_{data}(x)$ - реальное распределение
- $p_z(x)$ - распределение нашего шума
- G - генератор
- D - дискриминатор
- $G(x)$ - выход нашего генератора, x - случайный шум
- $D(x)$ - выход нашего дискриминатора, $D(x) \in [0, 1]$, (1 - настоящая картинка, 0 - фейк)

Обучаем генератор, чтоб минимизировать

$$E_{z \in p_z(x)}(\log(1 - D(G(z))))$$

Обучаем дискриминатор, чтоб максимизировать

$$E_{x \in p_{data}(x)}[\log(D(x))] + E_{z \in p_z(x)}[\log(1 - D(G(z)))]$$

Итого получаем minmax игру с такой функцией $V(G, D)$

$$\min_G \min_D V(D, G) = E_{x \in p_{data}(x)}[\log(D(x))] + E_{z \in p_z(x)}[\log(1 - D(G(z)))]$$

Обучение GAN'ов

for number of training iterations **do**

for k steps **do**

- Sample minibatch of m noise samples $\{z^{(1)}, \dots, z^{(m)}\}$ from noise prior $p_g(z)$.
- Sample minibatch of m examples $\{x^{(1)}, \dots, x^{(m)}\}$ from data generating distribution $p_{\text{data}}(x)$.
- Update the discriminator by ascending its stochastic gradient:

$$\nabla_{\theta_d} \frac{1}{m} \sum_{i=1}^m \left[\log D(x^{(i)}) + \log \left(1 - D(G(z^{(i)})) \right) \right].$$

end for

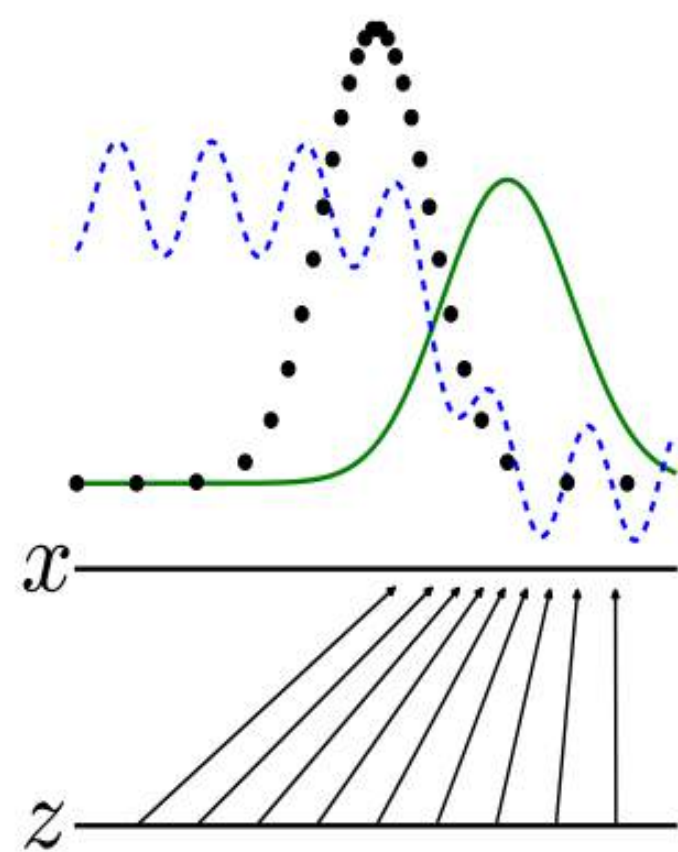
- Sample minibatch of m noise samples $\{z^{(1)}, \dots, z^{(m)}\}$ from noise prior $p_g(z)$.
- Update the generator by descending its stochastic gradient:

$$\nabla_{\theta_g} \frac{1}{m} \sum_{i=1}^m \log \left(1 - D(G(z^{(i)})) \right).$$

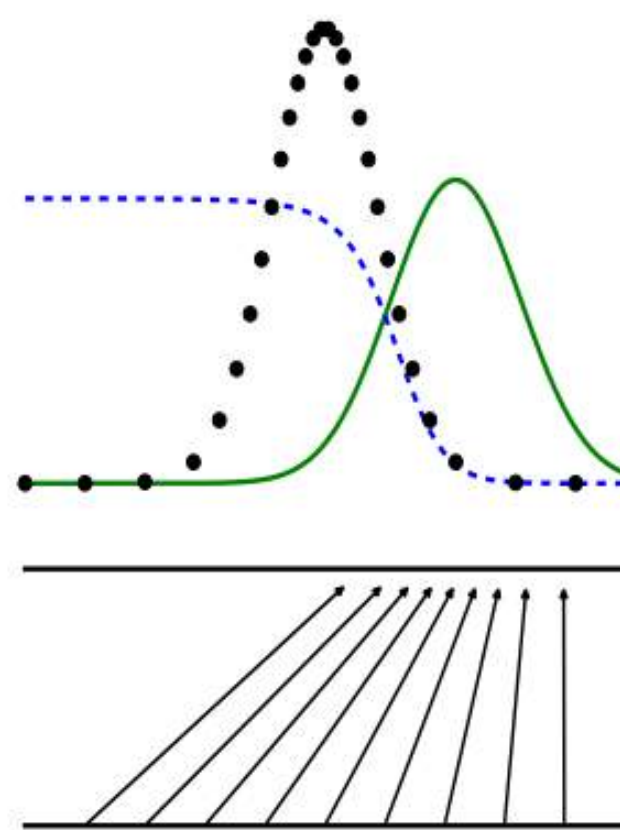
end for

The gradient-based updates can use any standard gradient-based learning rule. We used momentum in our experiments.

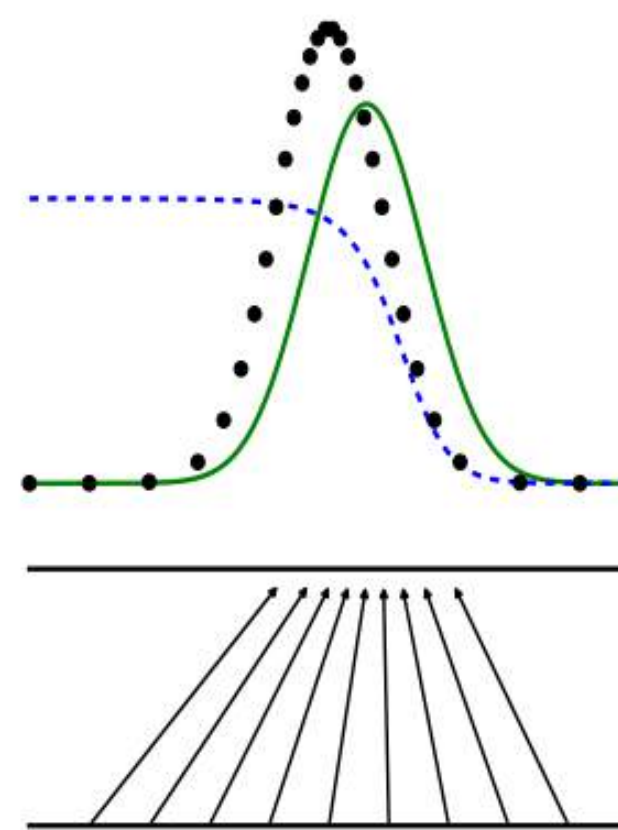
Обучение GAN'ов



(a)

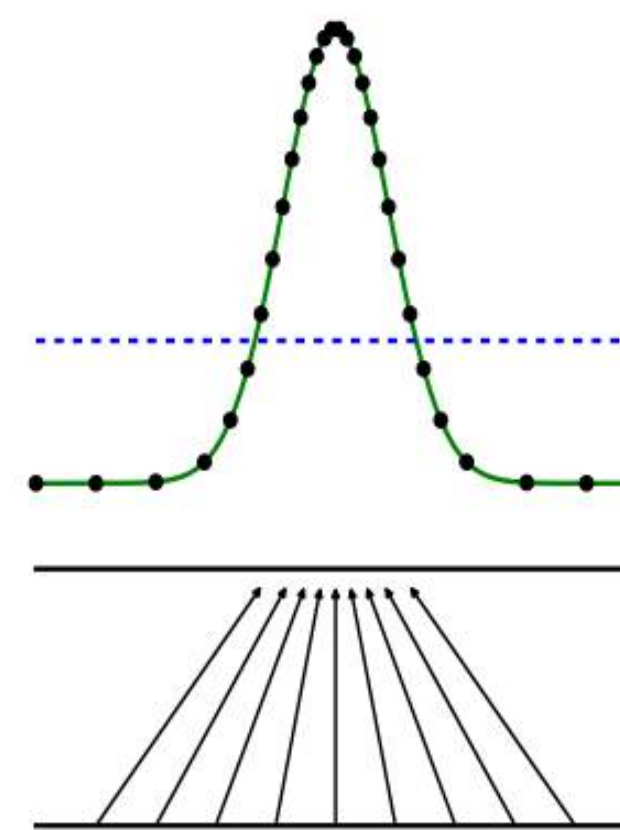


(b)



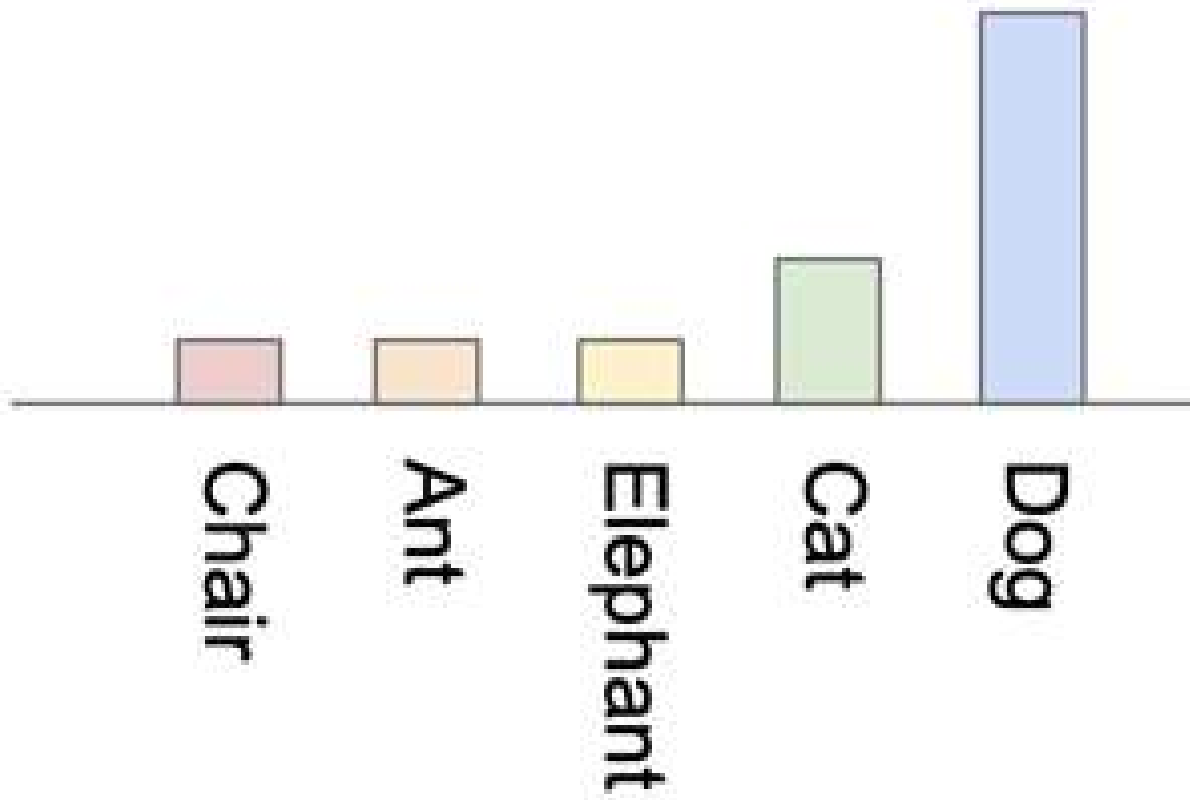
(c)

...



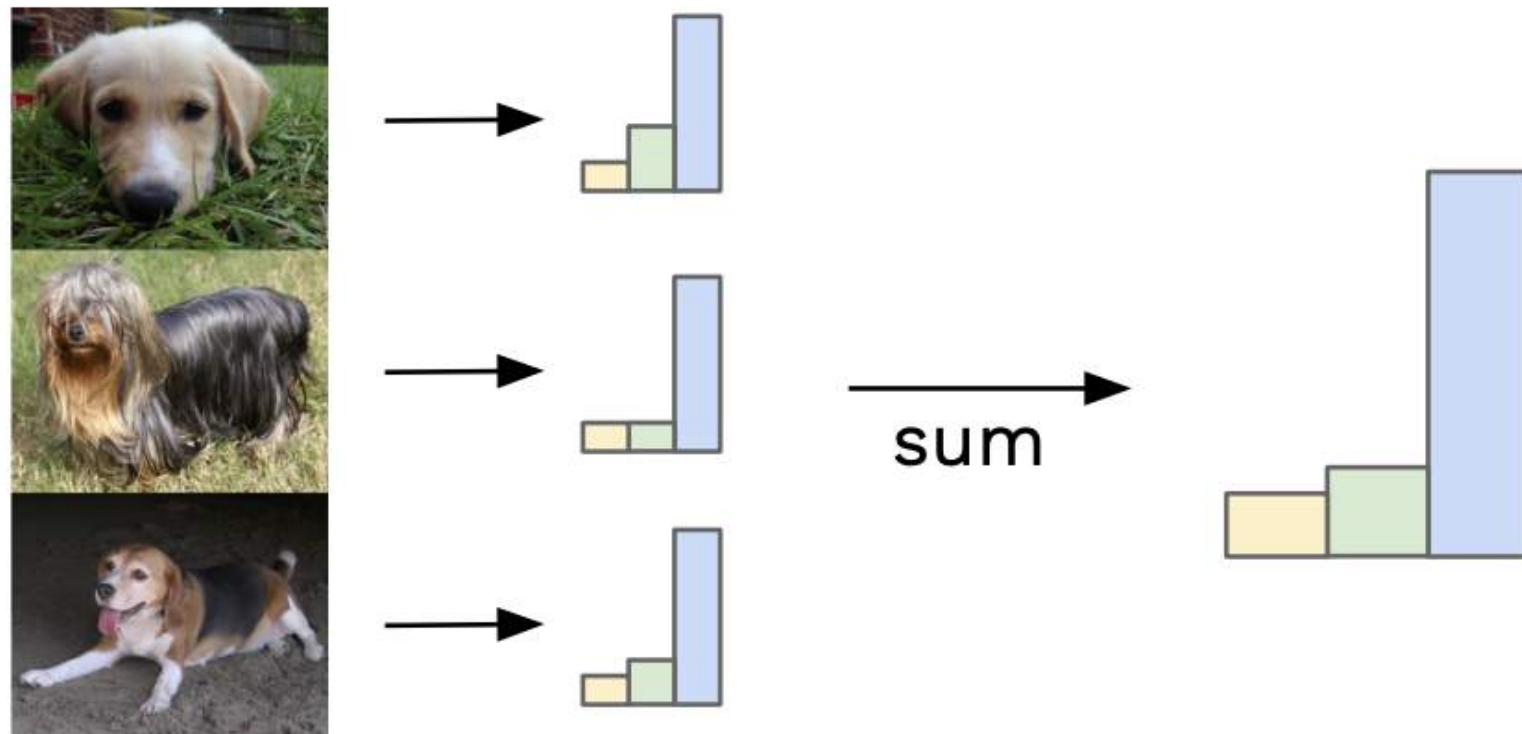
(d)

Inception Score

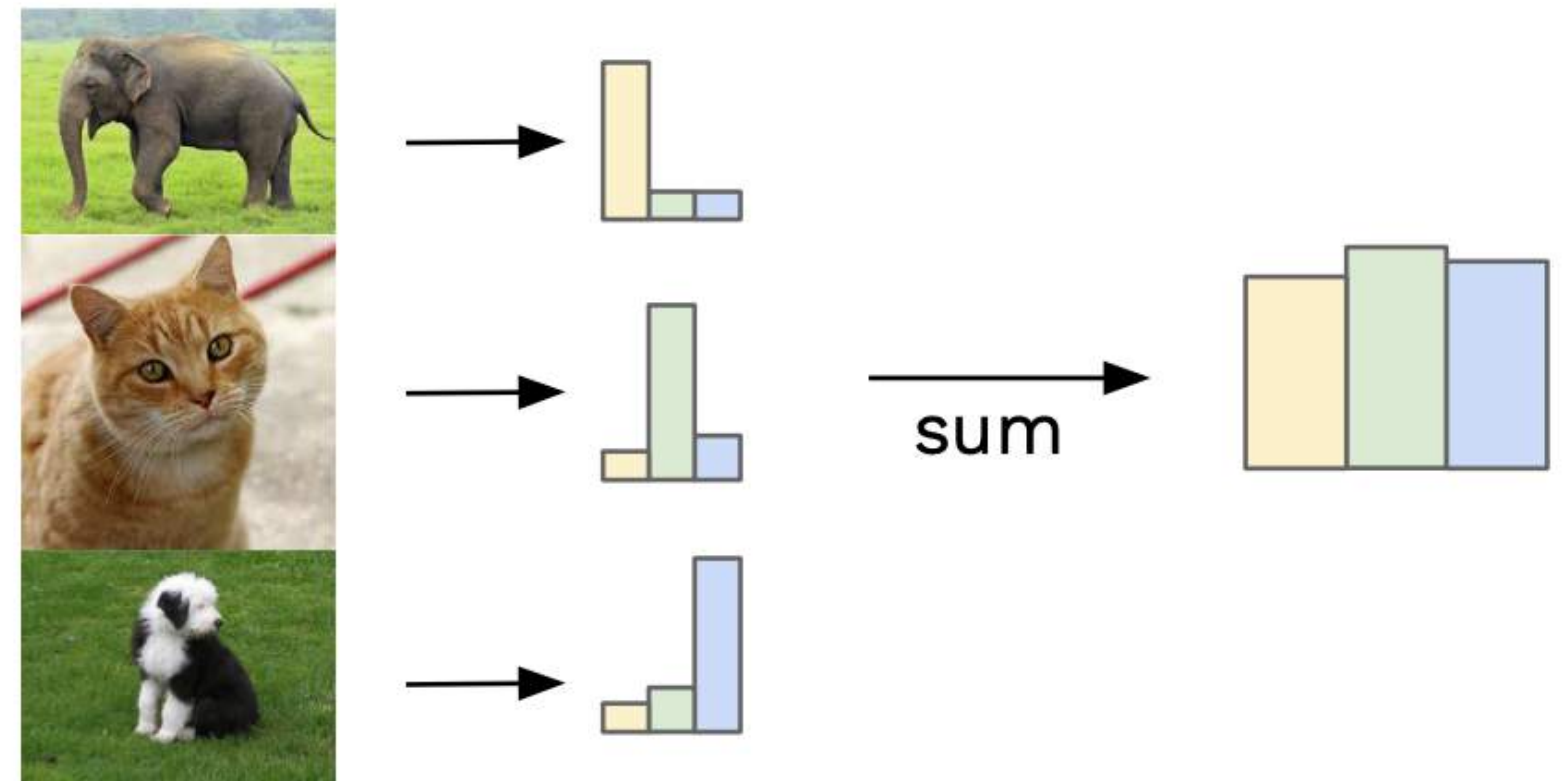


Inception Score

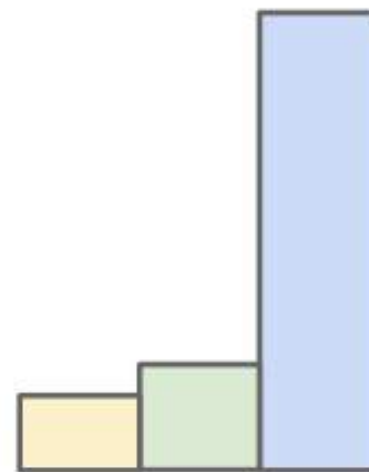
Similar labels sum to give focussed distribution



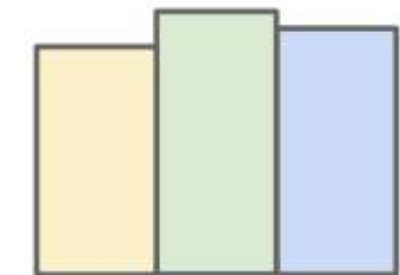
Different labels sum to give uniform distribution



Inception Score

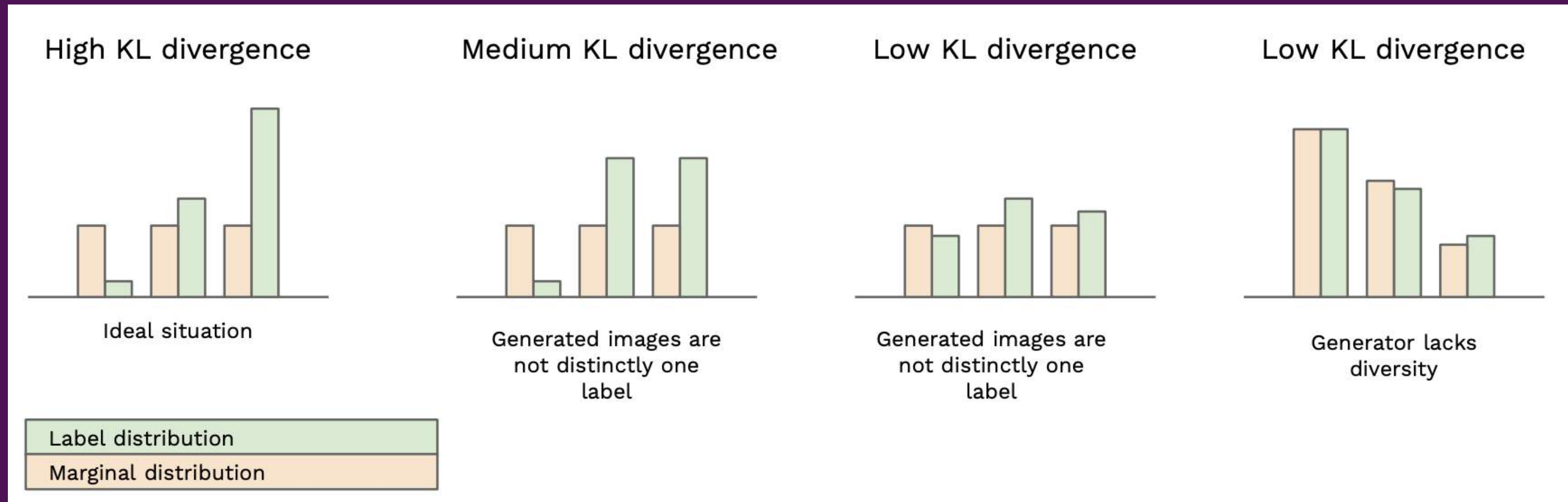


Ideal label distribution



Ideal marginal distribution

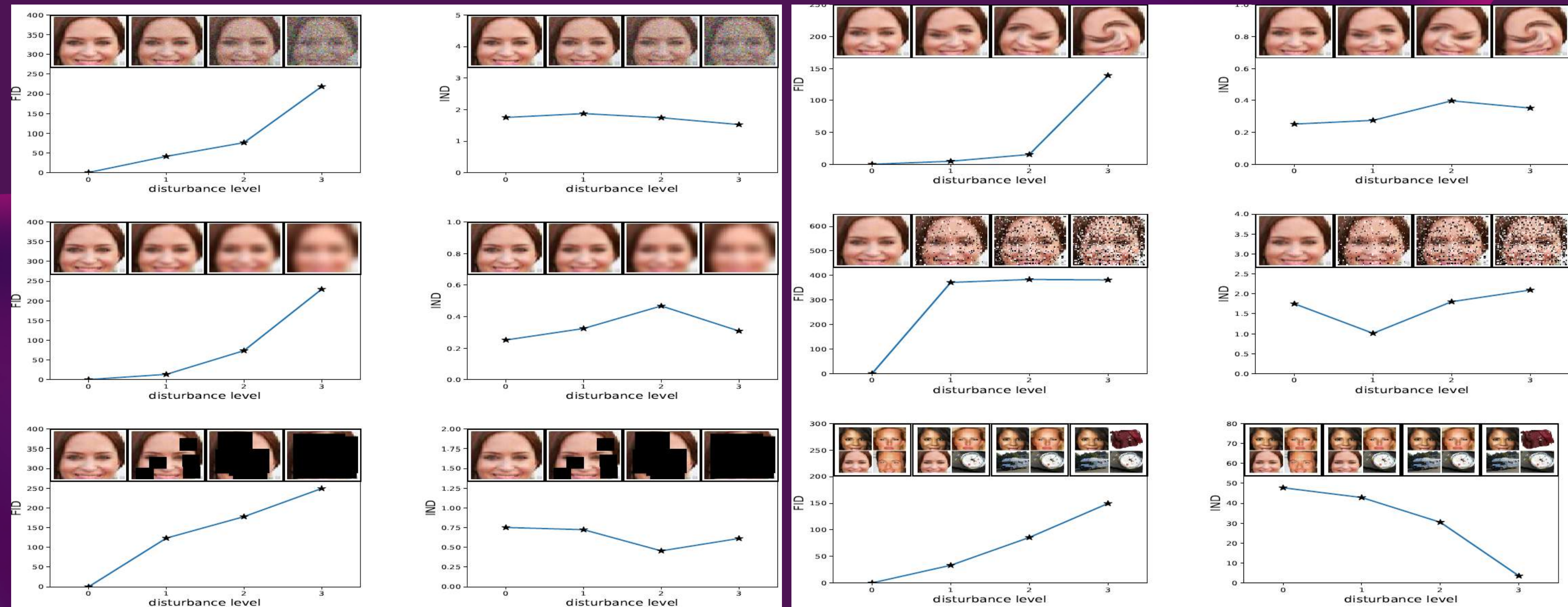
Inception Score



Fréchet Inception Distance

$$d^2((\boldsymbol{m}, \boldsymbol{C}), (\boldsymbol{m}_w, \boldsymbol{C}_w)) = \|\boldsymbol{m} - \boldsymbol{m}_w\|_2^2 + \text{Tr}(\boldsymbol{C} + \boldsymbol{C}_w - 2(\boldsymbol{C}\boldsymbol{C}_w)^{1/2}) .$$

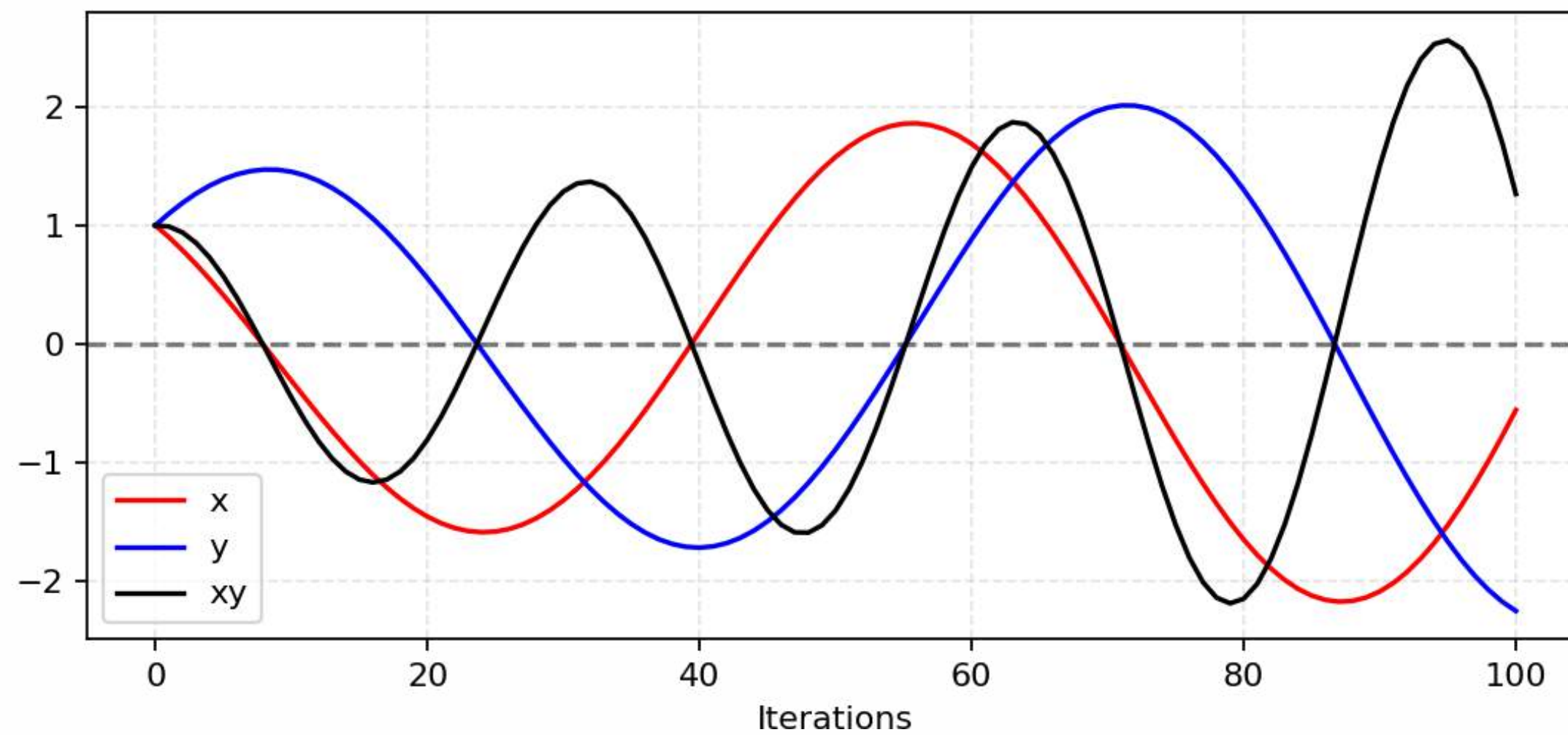
FID vs IS



Применение GAN'ам

- **Generate Examples for Image Datasets**
- **Generate Photographs of Human Faces**
- **Generate Realistic Photographs**
- **Generate Cartoon Characters**
- **Image-to-Image Translation**
- **Text-to-Image Translation**
- **Semantic-Image-to-Photo Translation**
- **Face Frontal View Generation**
- **Generate New Human Poses**
- **Photos to Emojis**
- **Photograph Editing**
- **Face Aging**
- **Photo Blending**
- **Super Resolution**
- **Photo Inpainting**
- **Clothing Translation**
- **Video Prediction**
- **3D Object Generation**

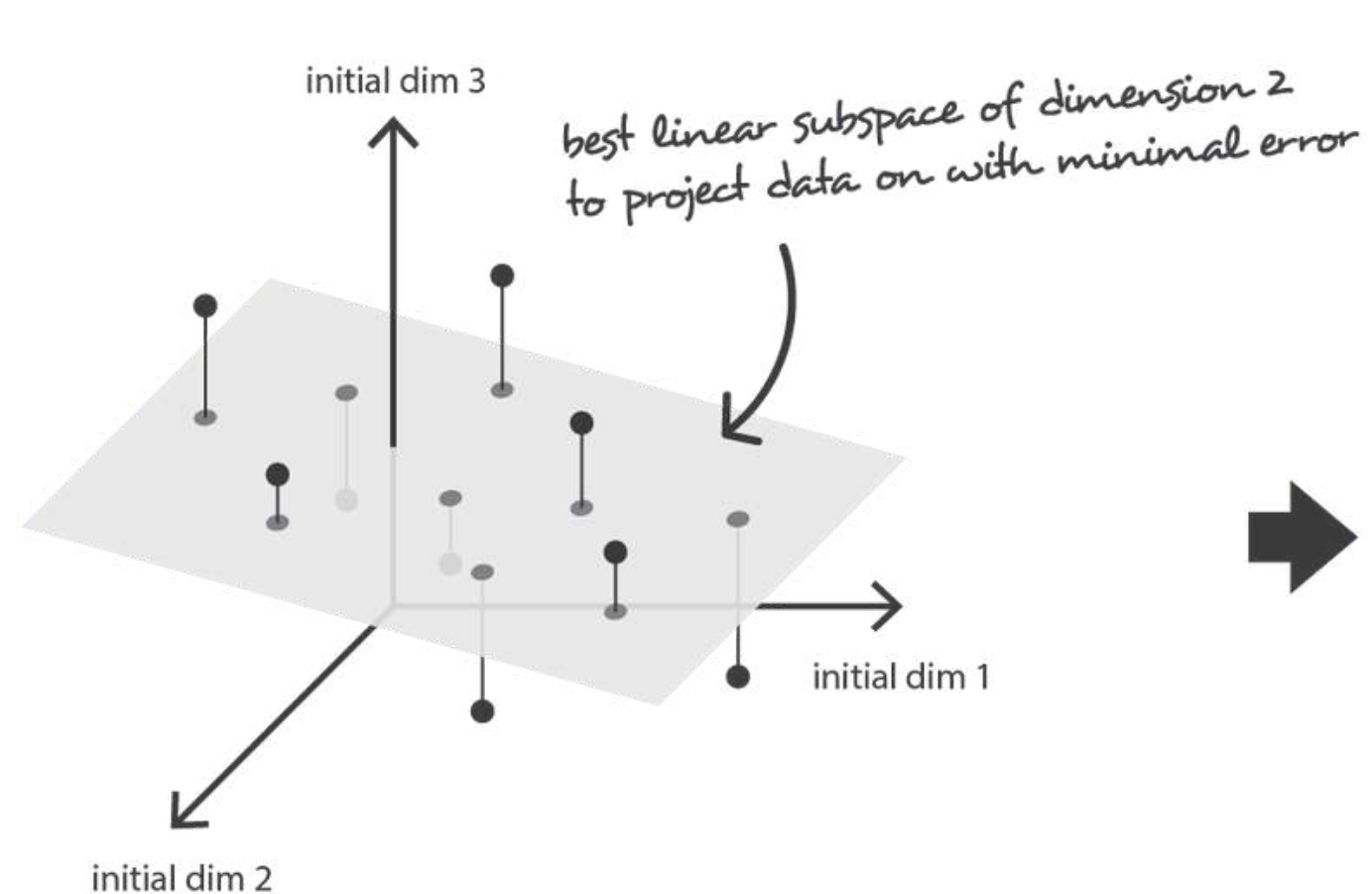
Проблемы GAN'ов



The background features three large, organic, fluid shapes in shades of purple and blue. One shape is in the top-left corner, another is a large, elongated shape on the right side, and a smaller, more rounded one is in the bottom-left corner. The text is centered in the middle of the image.

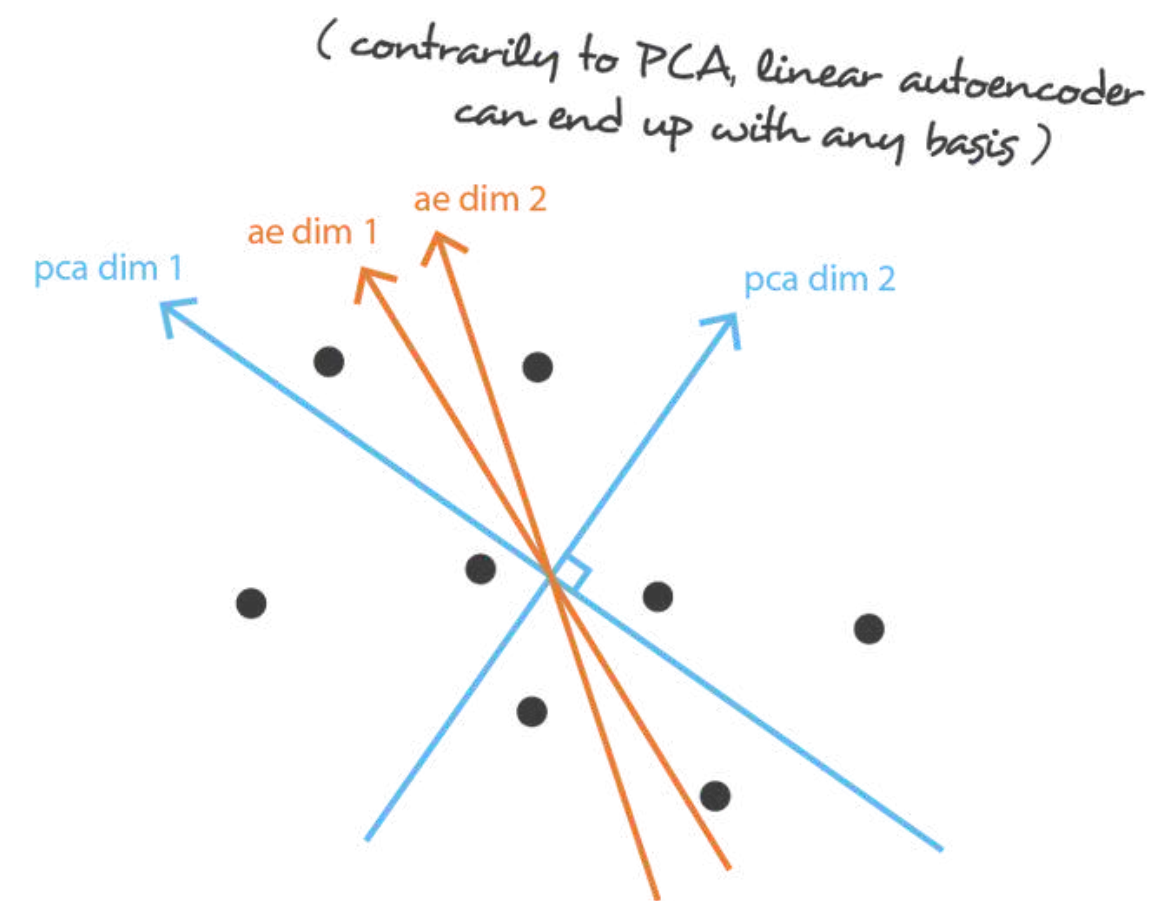
Variational Autoencoders

Задача уменьшения размерности



Data in the full initial space

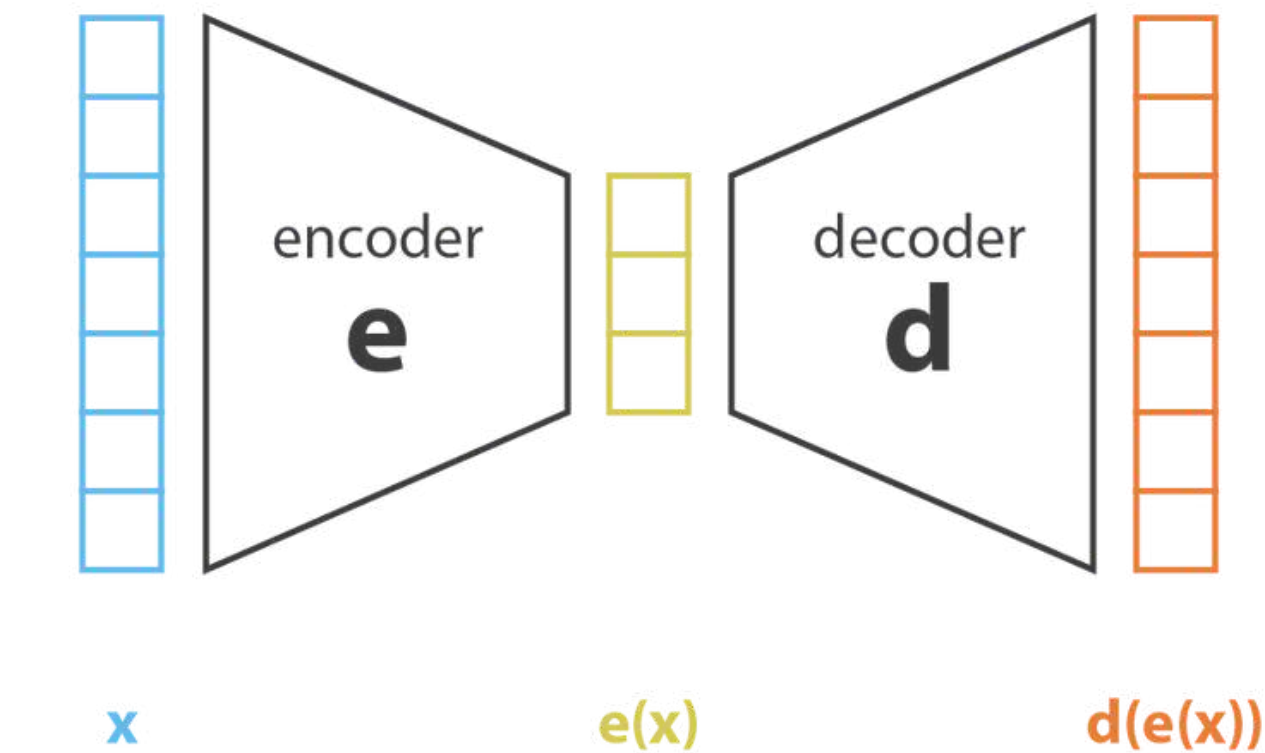
In order to reduce dimensionality, PCA and linear autoencoder target, in theory, the same optimal subspace to project data on...



Data projected on the best linear subspace

... but not necessarily with the same basis due to different constraints (in PCA the first component is the one that explains the maximum of variance and components are orthogonal)

Автоэнкодер



x
initial data
in space R^n

$e(x)$
encoded data
in latent space R^m (with $m < n$)

$d(e(x))$
encoded-decoded data
back in the initial space R^n

$$x = d(e(x))$$



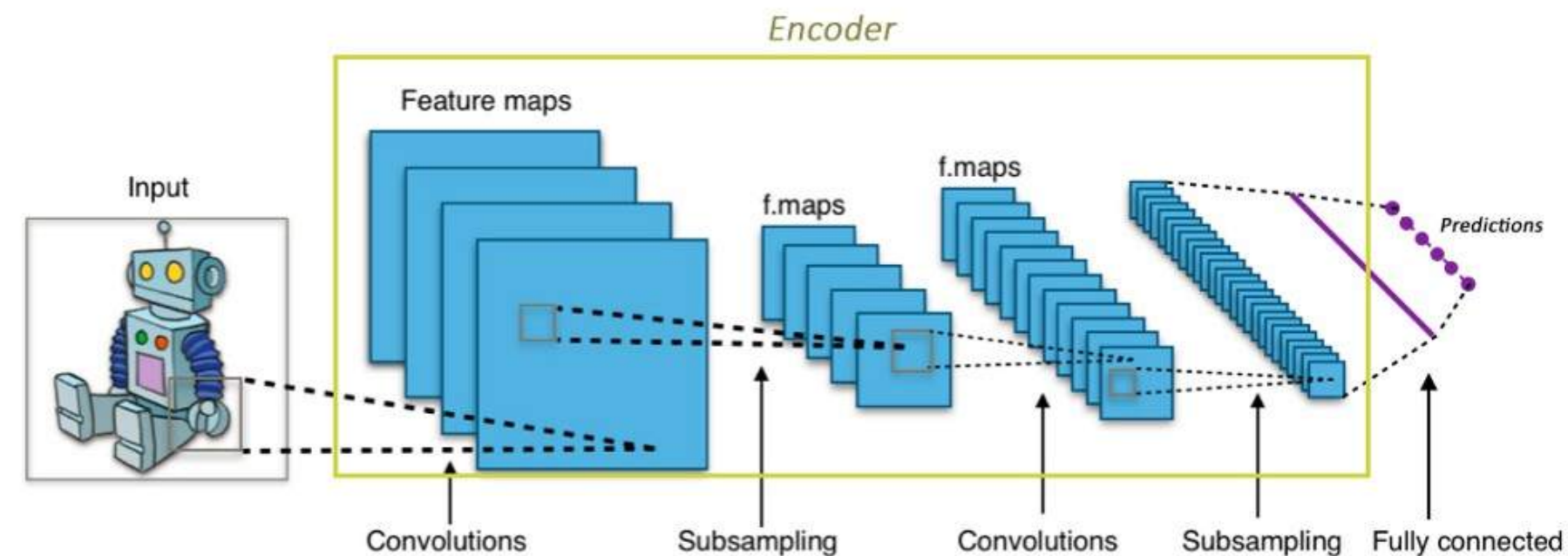
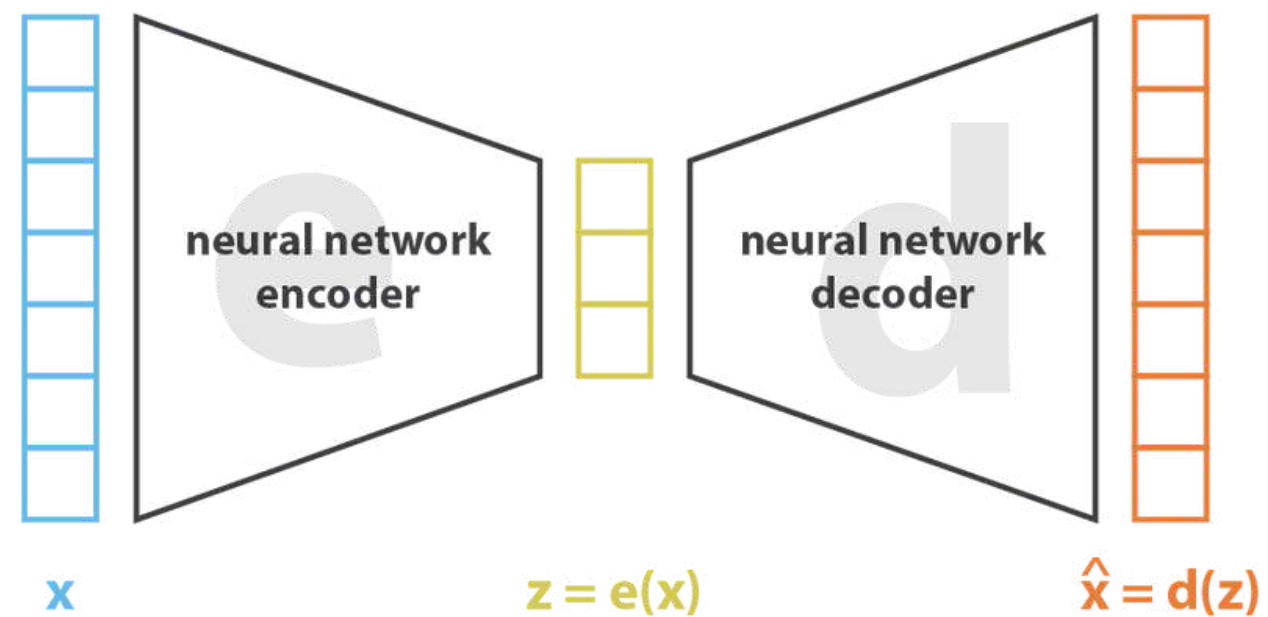
lossless encoding
no information is lost
when reducing the
number of dimensions

$$x \neq d(e(x))$$



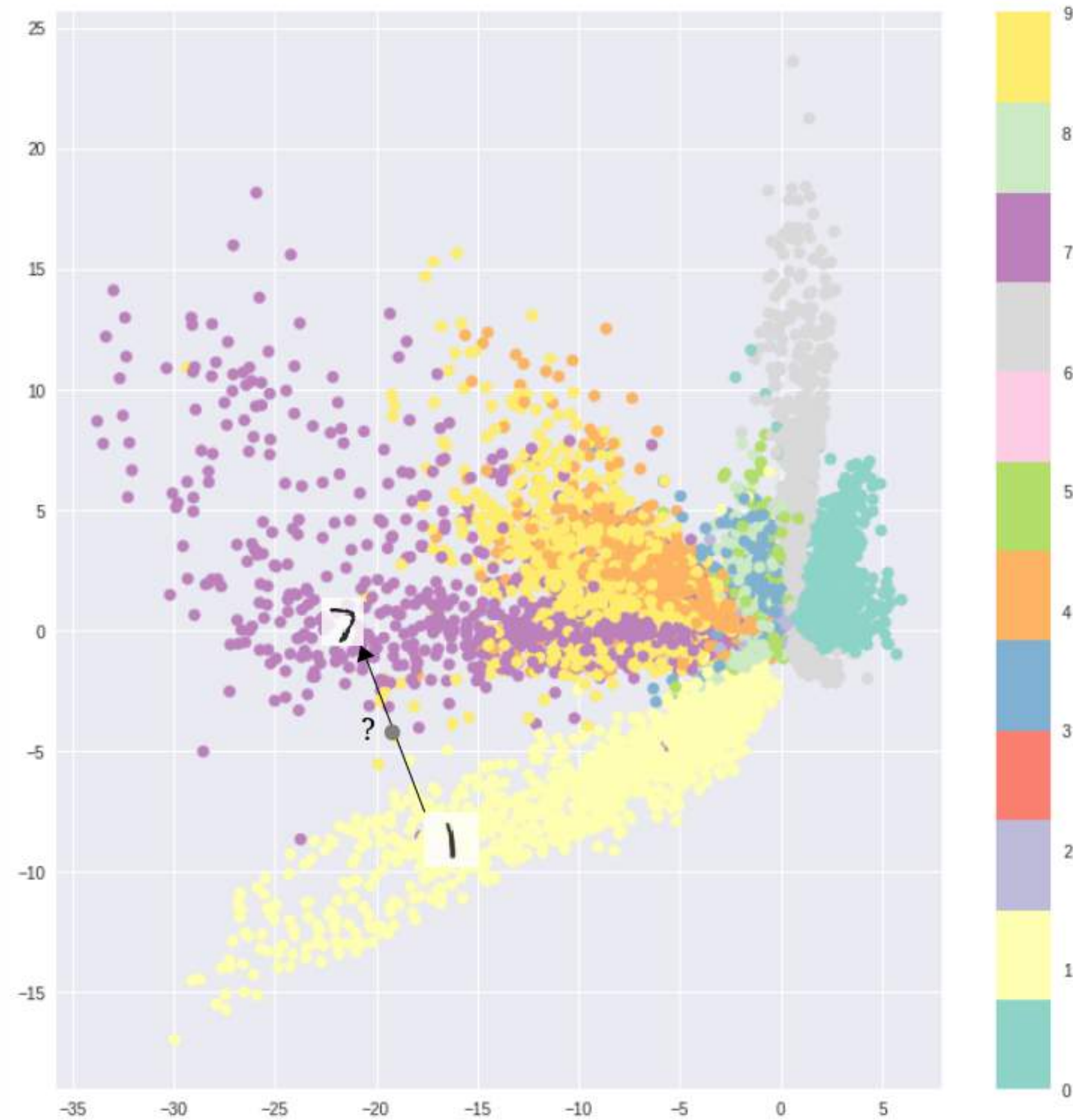
lossy encoding
some information is lost
when reducing the
number of dimensions and
can't be recovered later

Автоэнкодер на основе нейронной сети

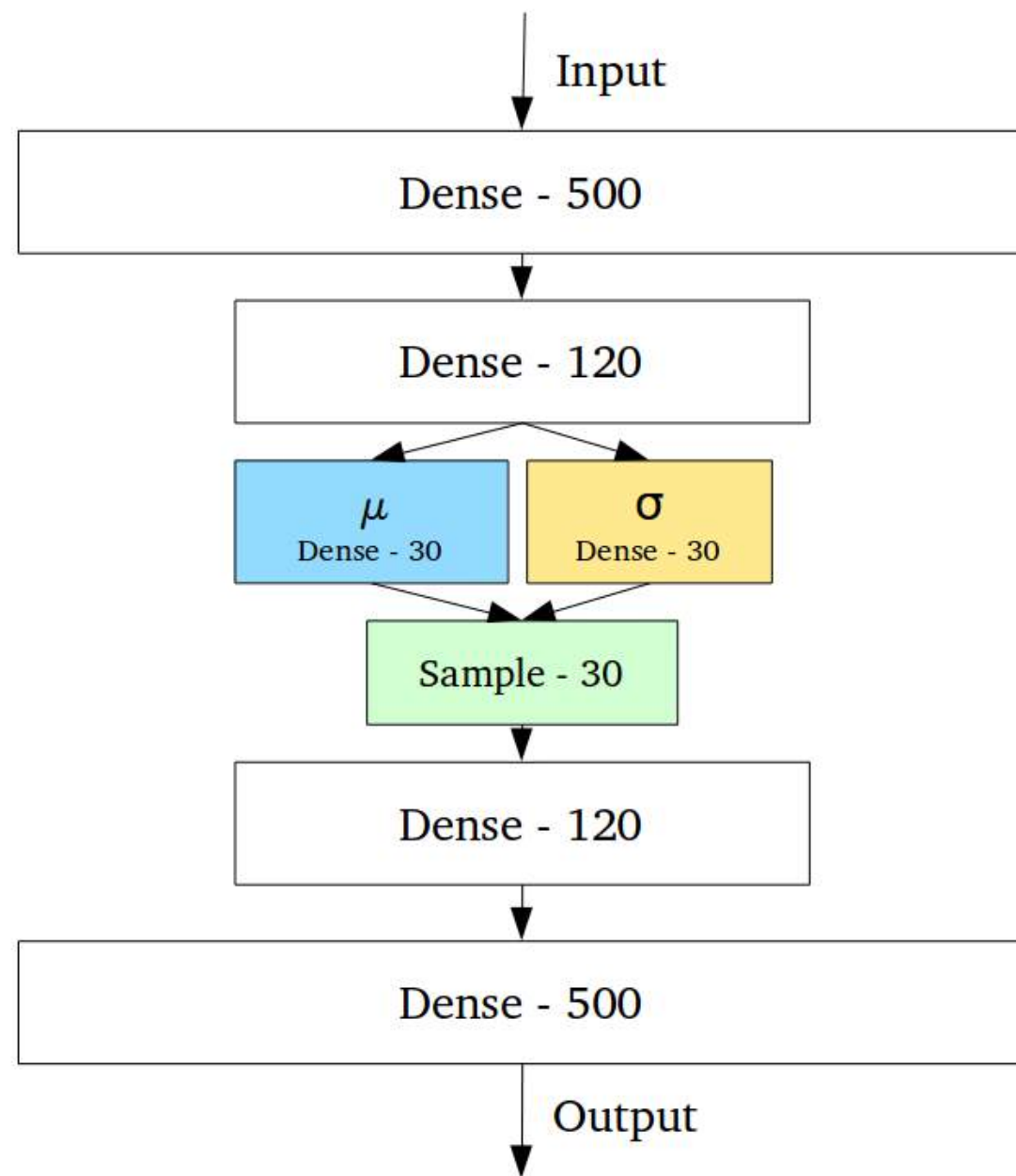


$$\text{loss} = ||x - \hat{x}||^2 = ||x - d(z)||^2 = ||x - d(e(x))||^2$$

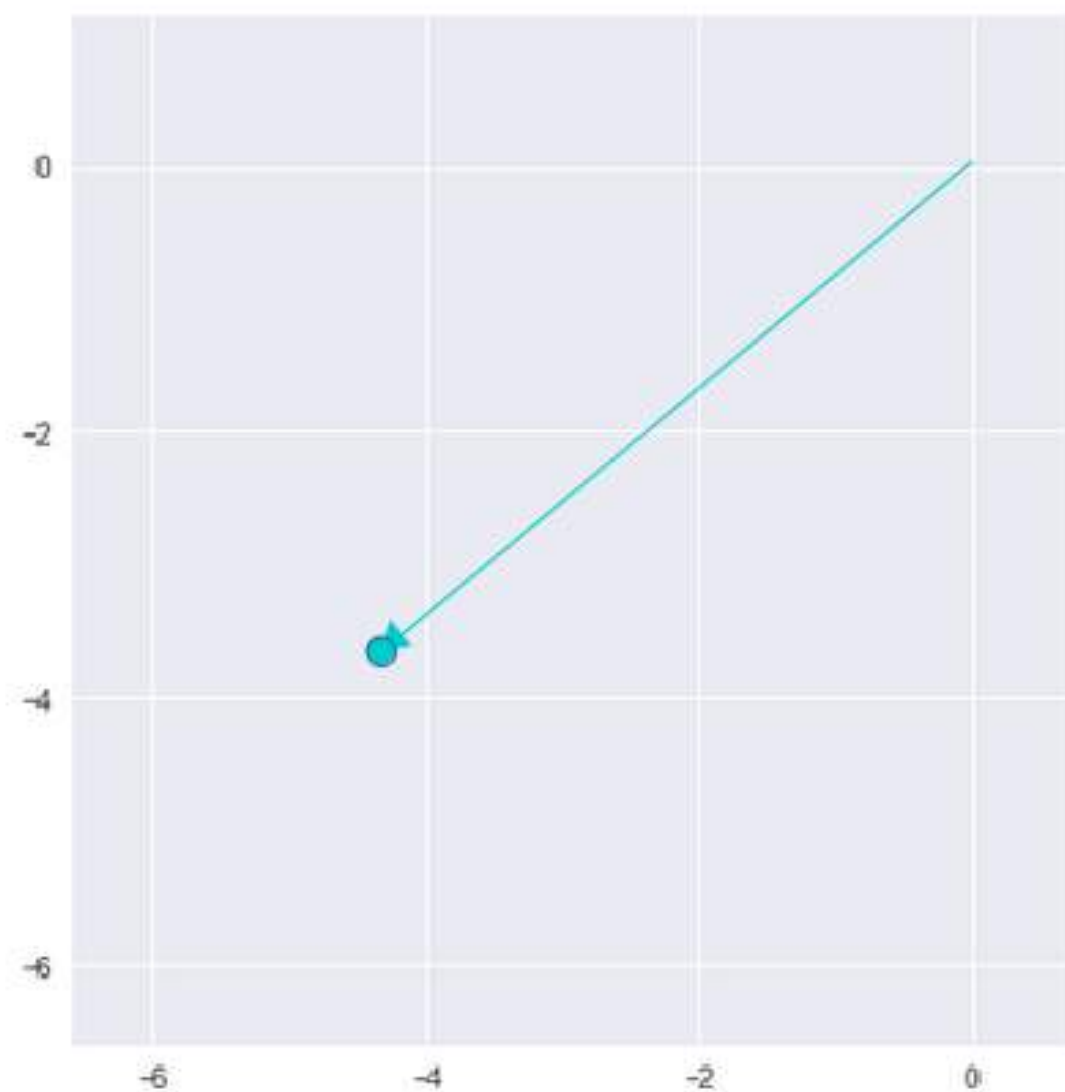
Визуализация двумерного скрытого пространства



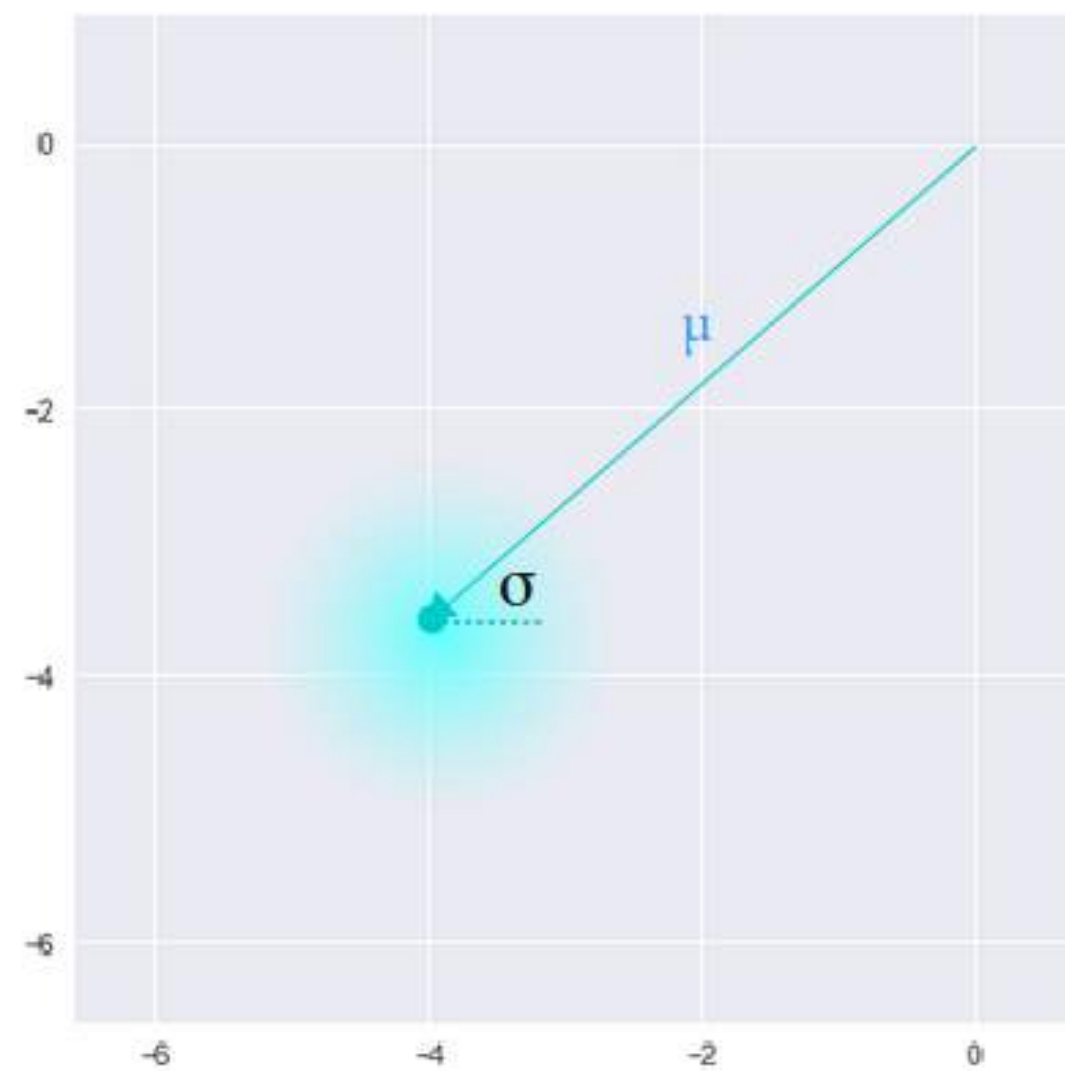
Вариационный автоэнкодер



Преимущество VAE

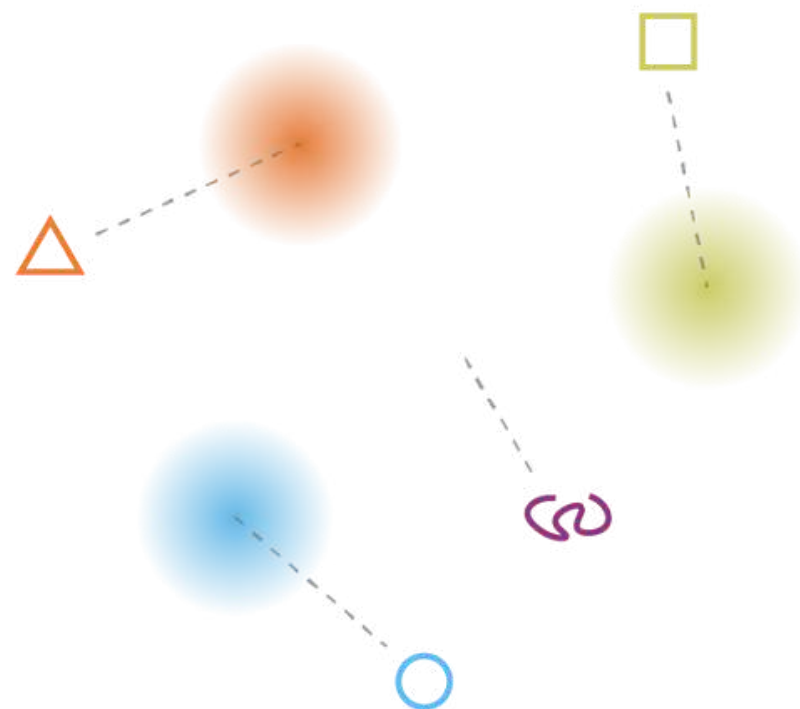


Standard Autoencoder
(direct encoding coordinates)

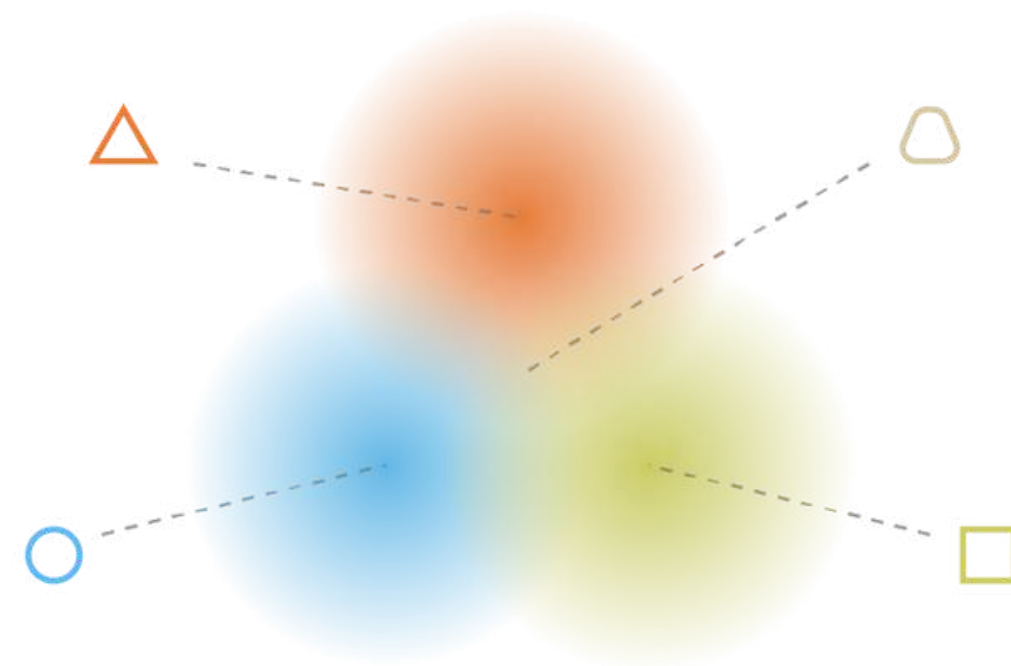


Variational Autoencoder
(μ and σ initialize a probability distribution)

На проблему напали...



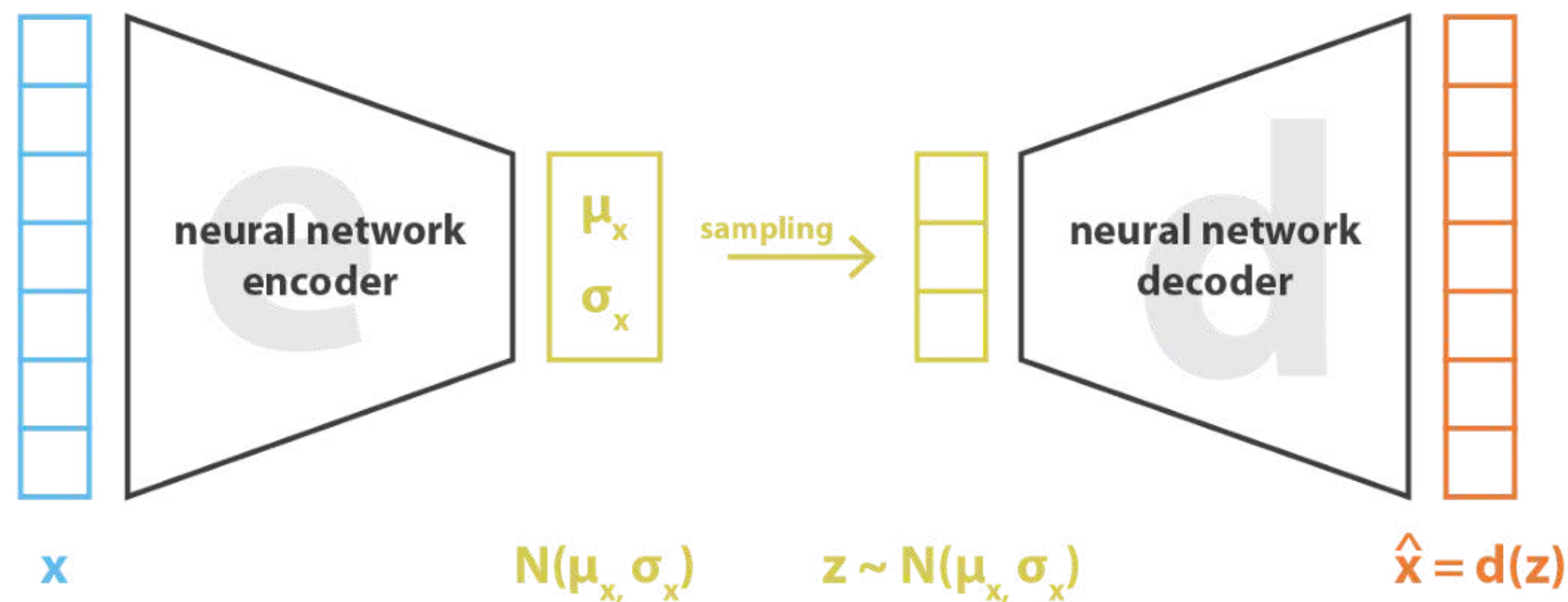
what can happen without regularisation



what we want to obtain with regularisation

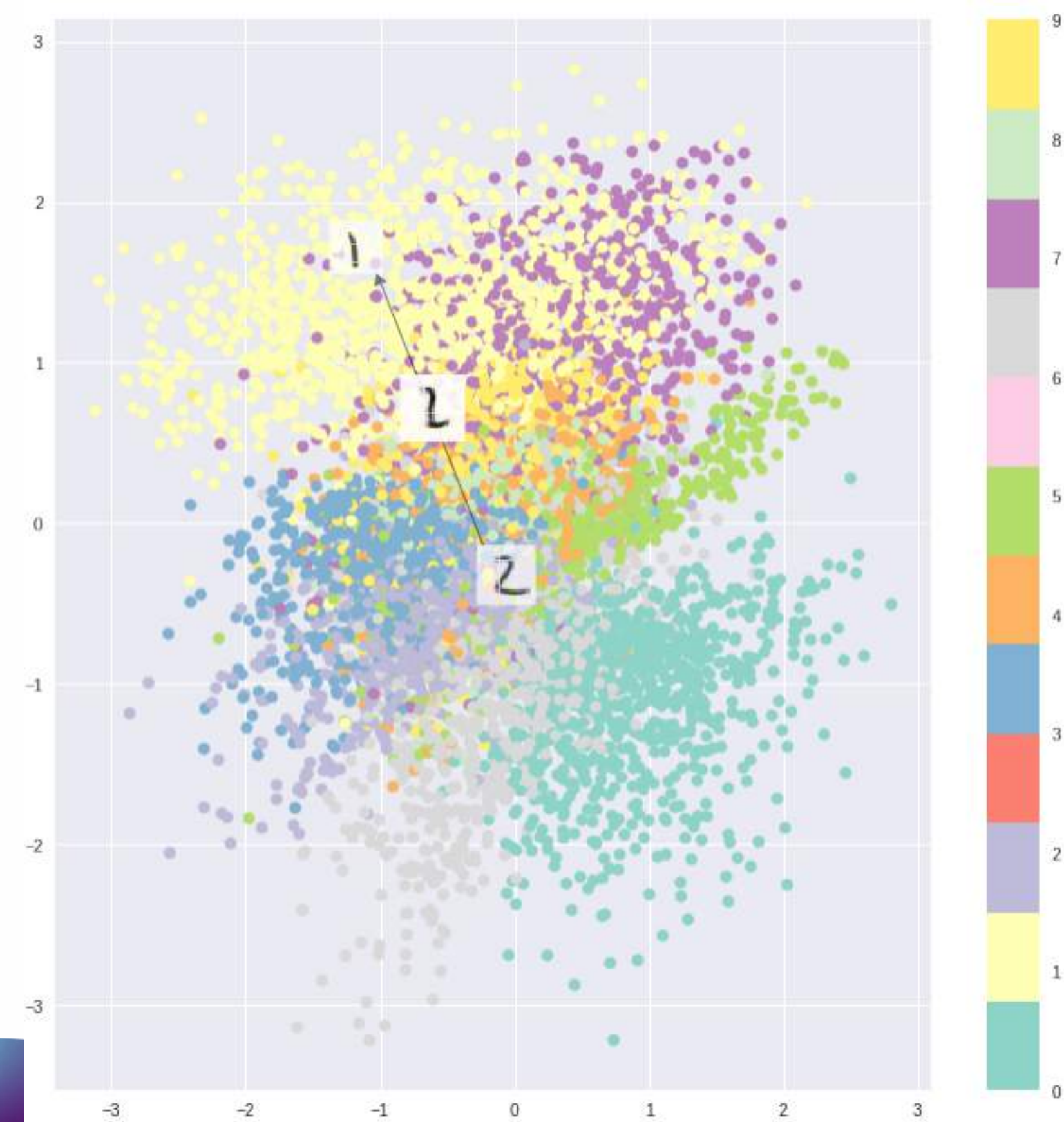
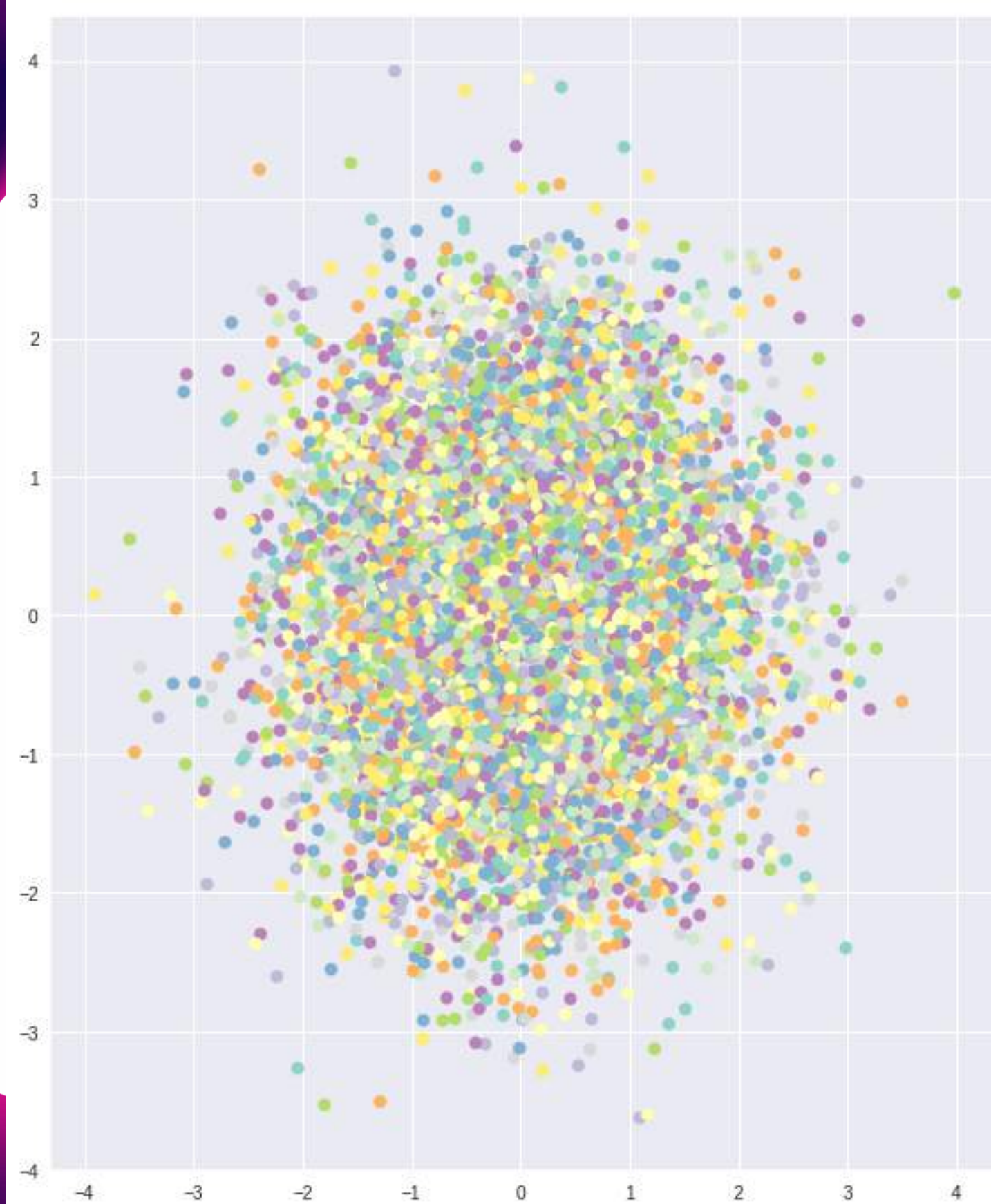
KL-дивергенция

$$\sum_{i=1}^n \sigma_i^2 + \mu_i^2 - \log(\sigma_i) - 1$$



$$\text{loss} = \|x - \hat{x}\|^2 + \text{KL}[N(\mu_x, \sigma_x), N(0, I)] = \|x - d(z)\|^2 + \text{KL}[N(\mu_x, \sigma_x), N(0, I)]$$

Итог

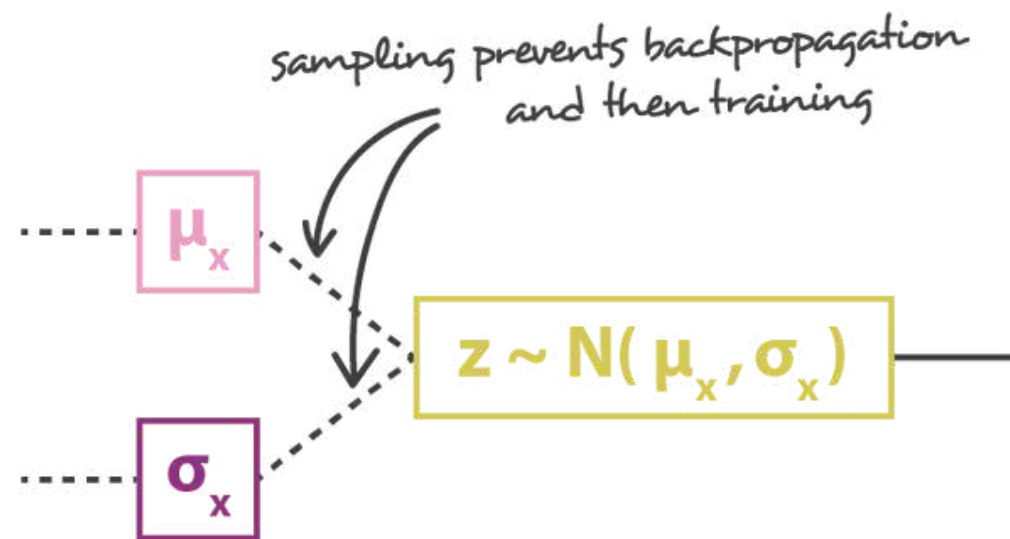


Секреты реализации

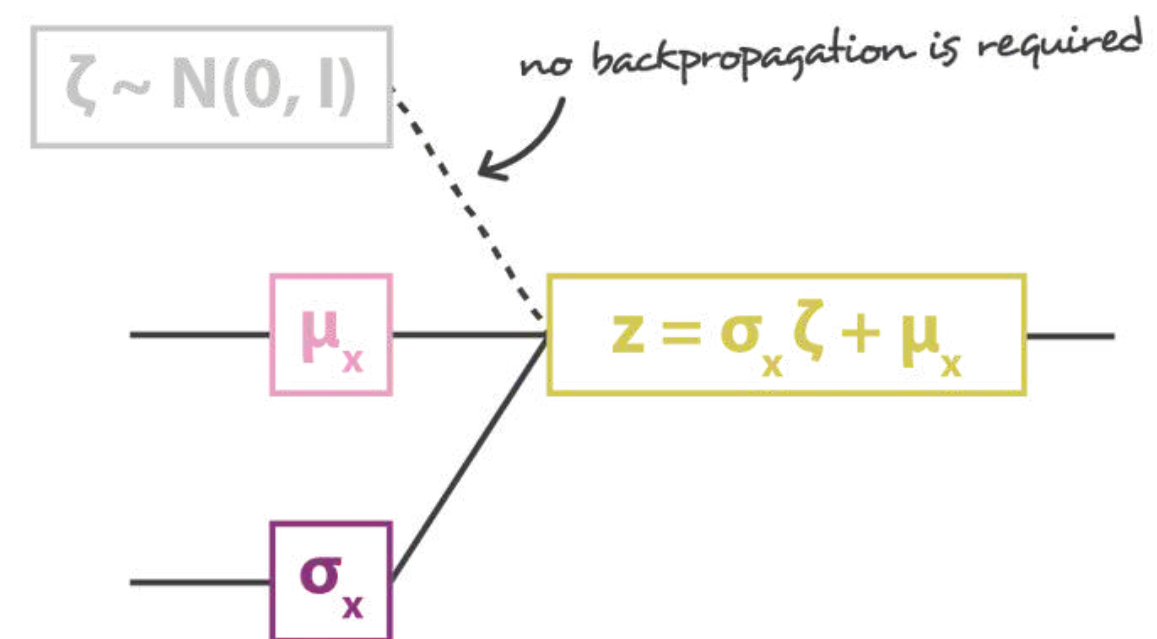
$$z = h(x)\zeta + g(x) \quad \zeta \sim \mathcal{N}(0, I)$$

—— no problem for backpropagation

..... backpropagation is not possible due to sampling

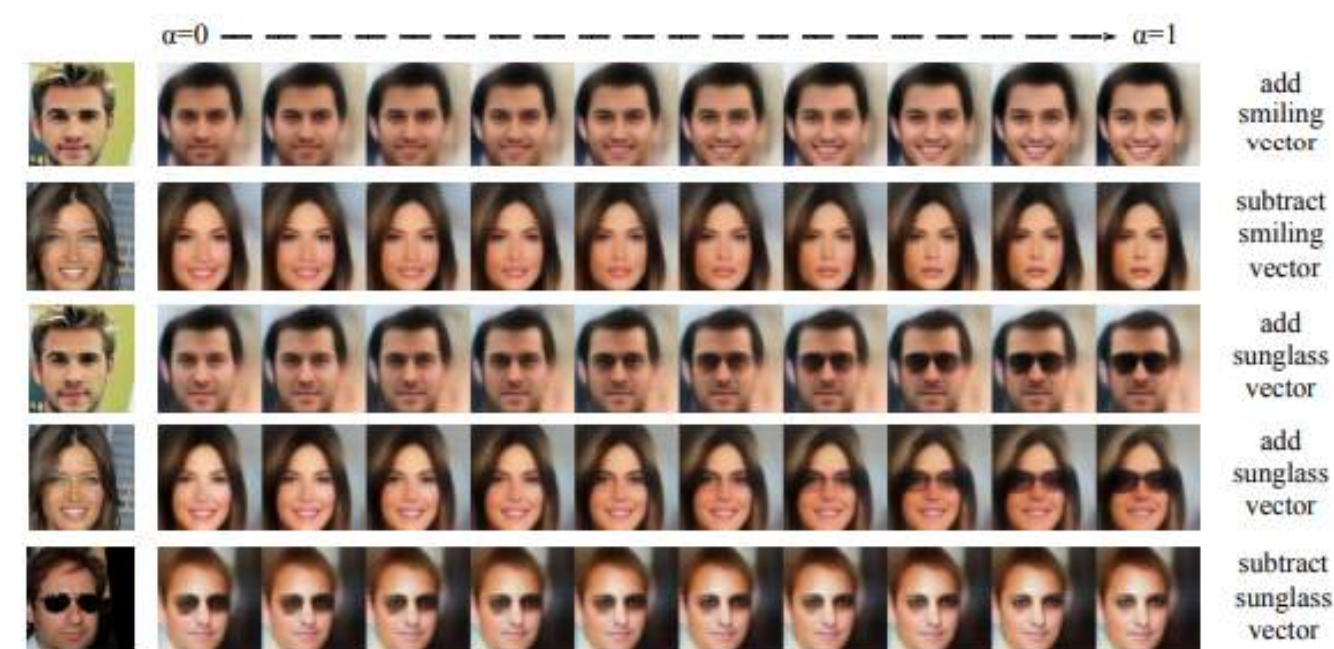
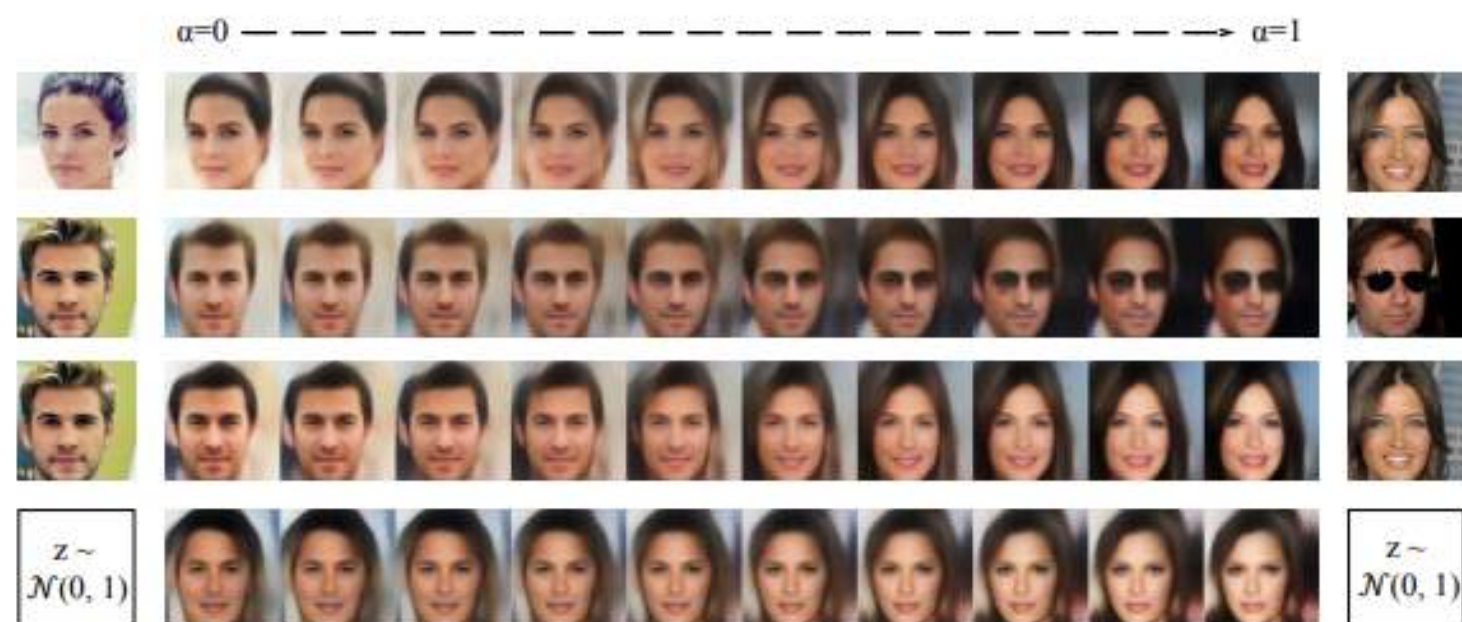
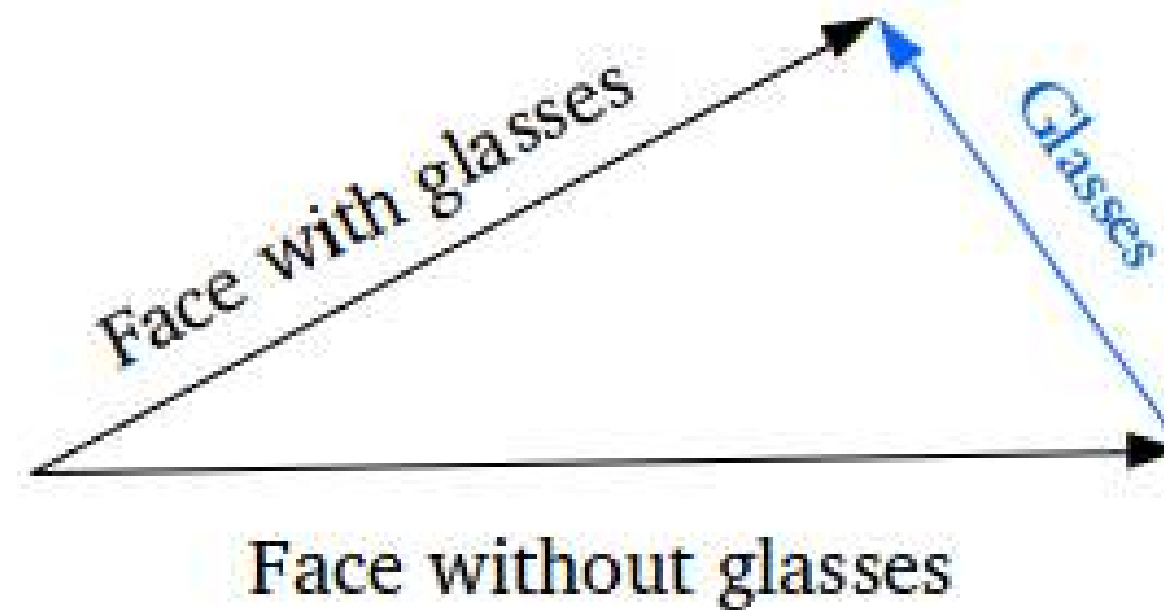
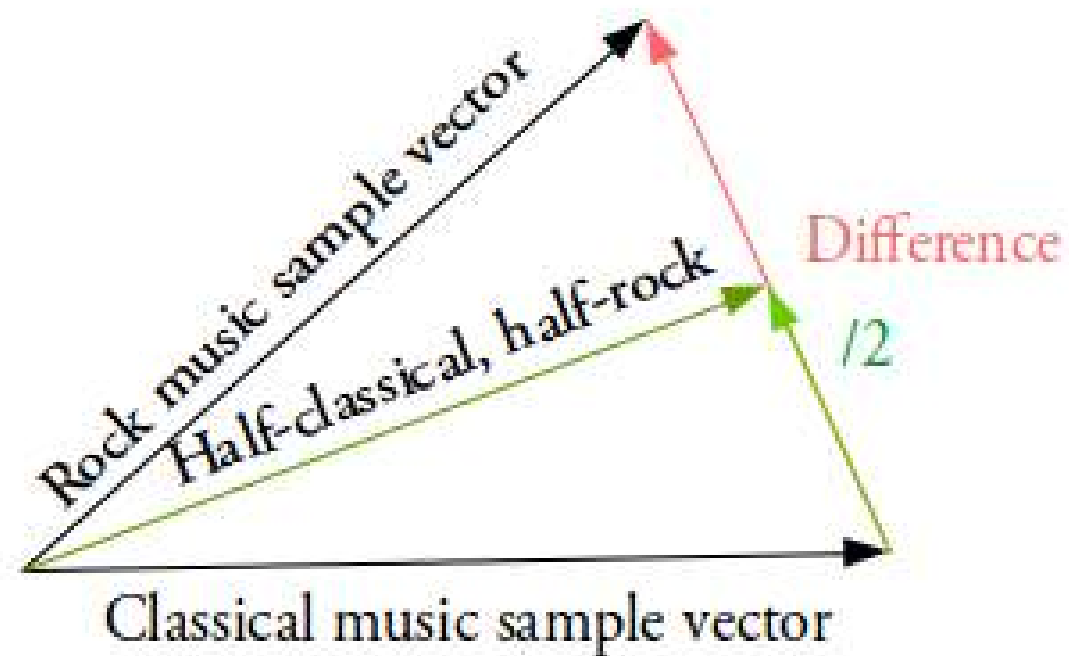


sampling without reparametrisation trick

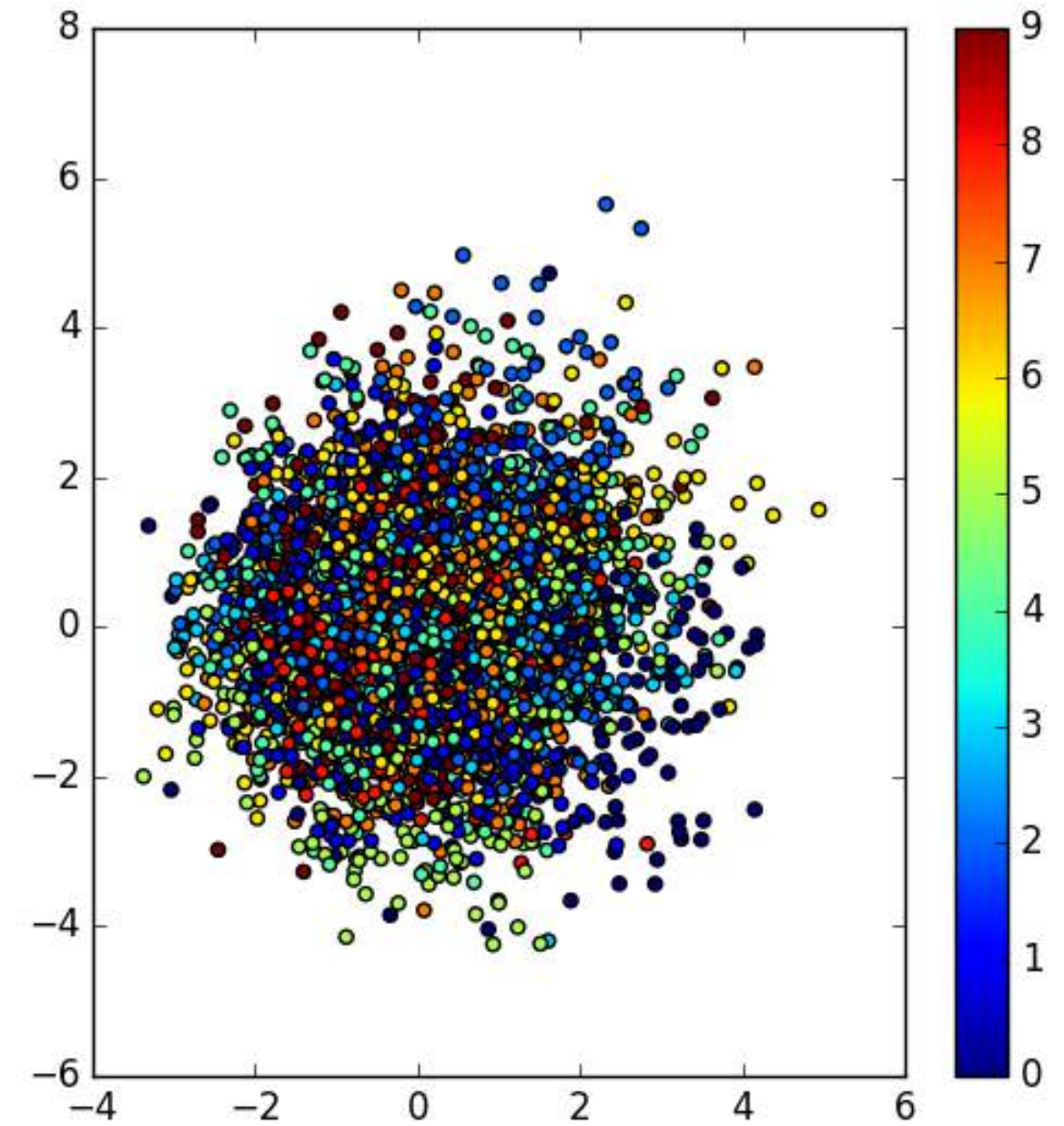
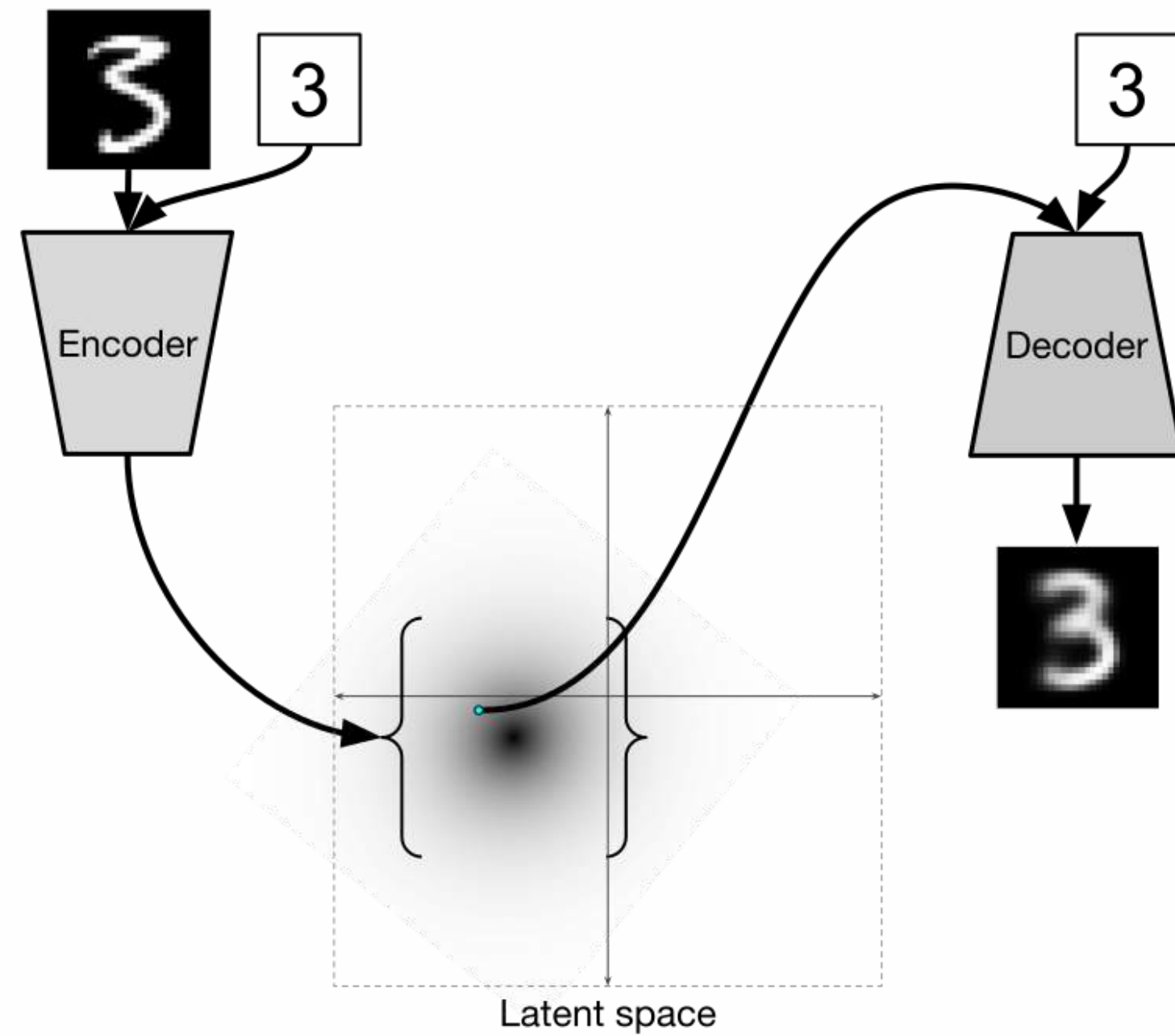


sampling with reparametrisation trick

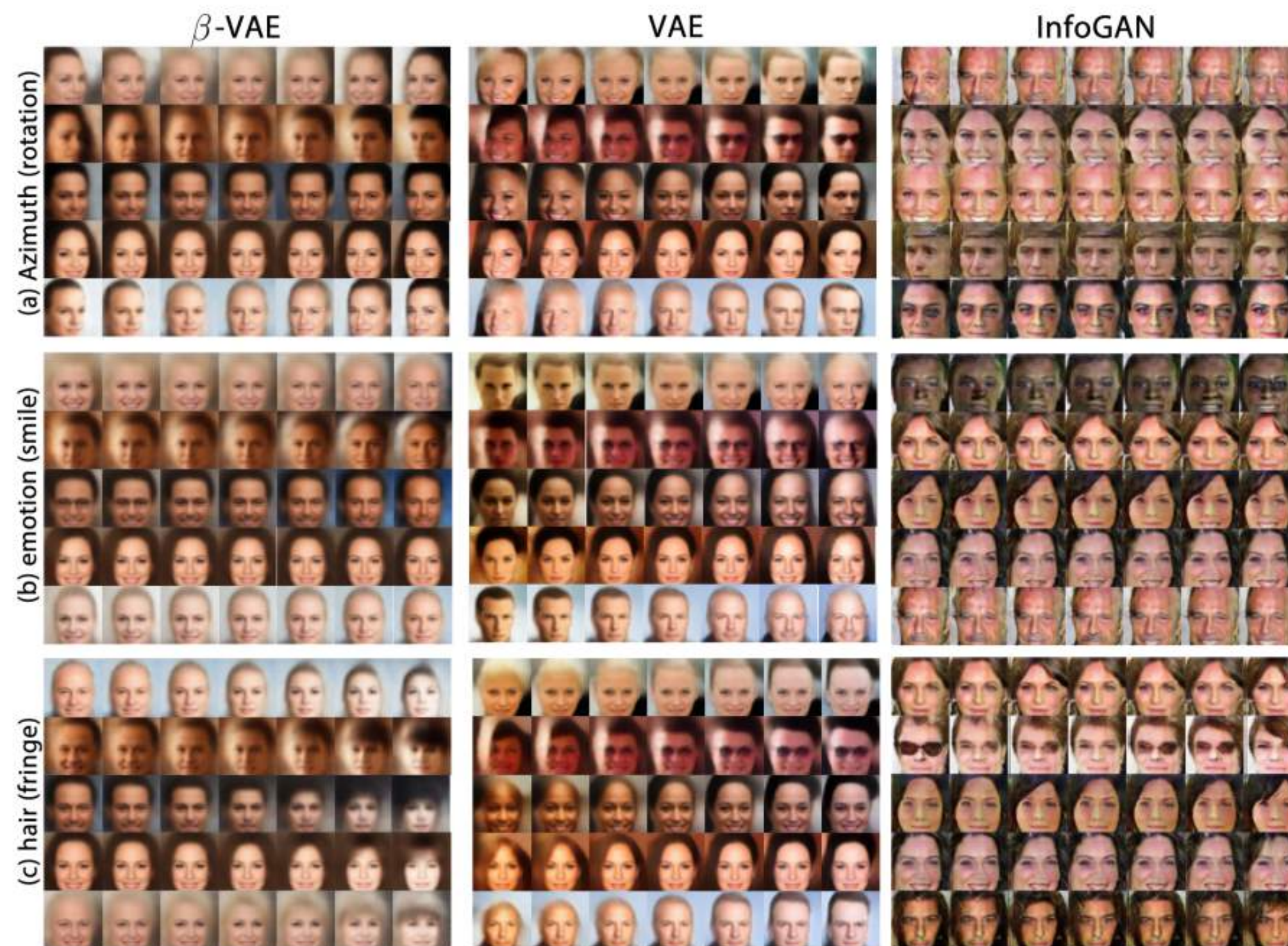
Векторная алгебра



Conditional VAE



β -VAE и GAN



Сравнение

VAE

- Более высокая скорость обучения
- Вариативность полученных изображений
- Отсутствие mode collapse

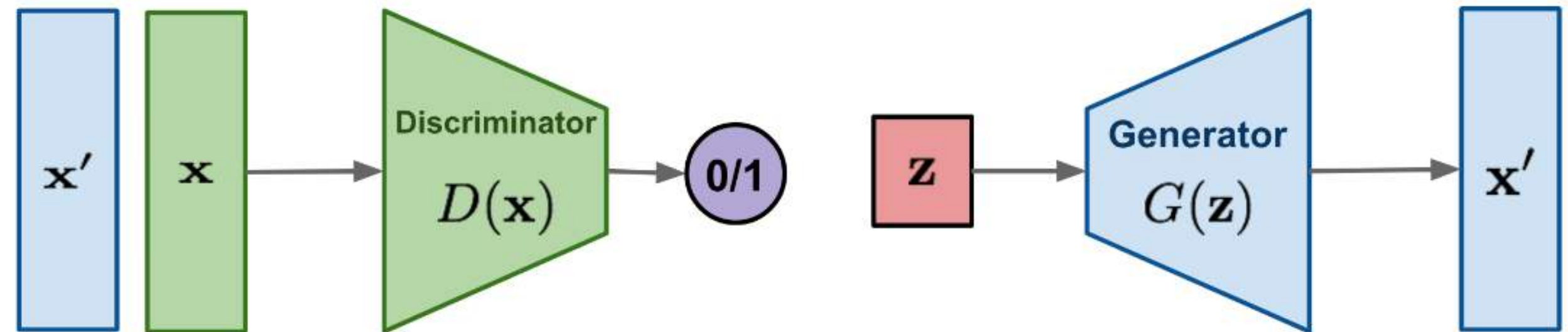
GAN

- Более высокая резкость изображений
- Отсутствие блюра

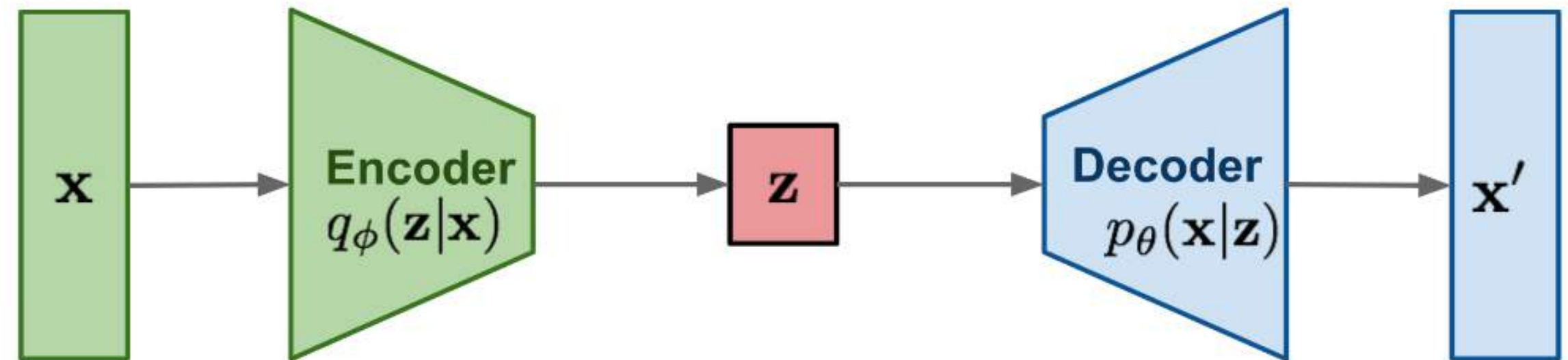
The background features four abstract, organic shapes in shades of purple and blue. One shape is in the top-left corner, another in the top-right, a larger one in the bottom-left, and a circular one in the bottom-right. The central text is positioned between these shapes.

Normalizing Flows

GAN: minimax the classification error loss.



VAE: maximize ELBO.



Flow-based generative models:
minimize the negative log-likelihood

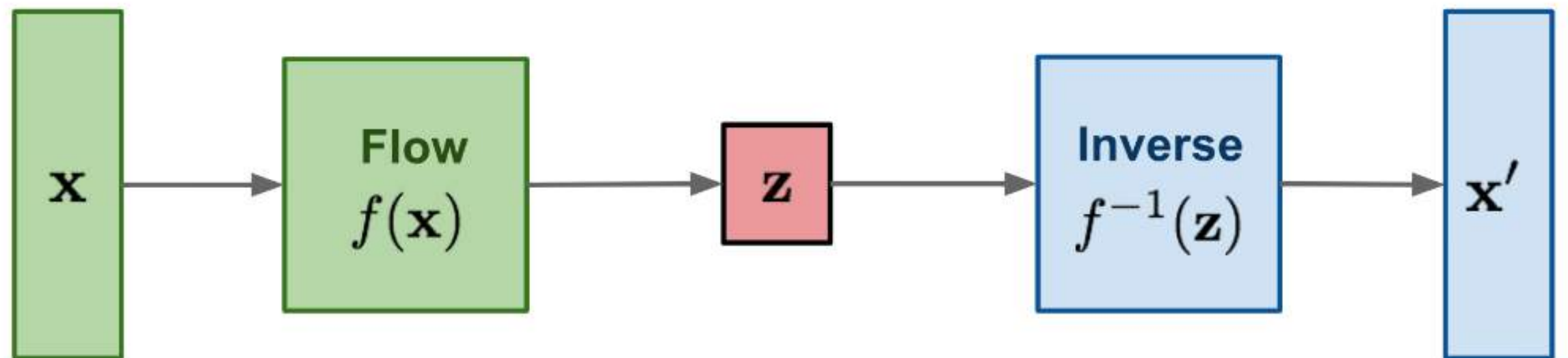


Fig. 1. Comparison of three categories of generative models.



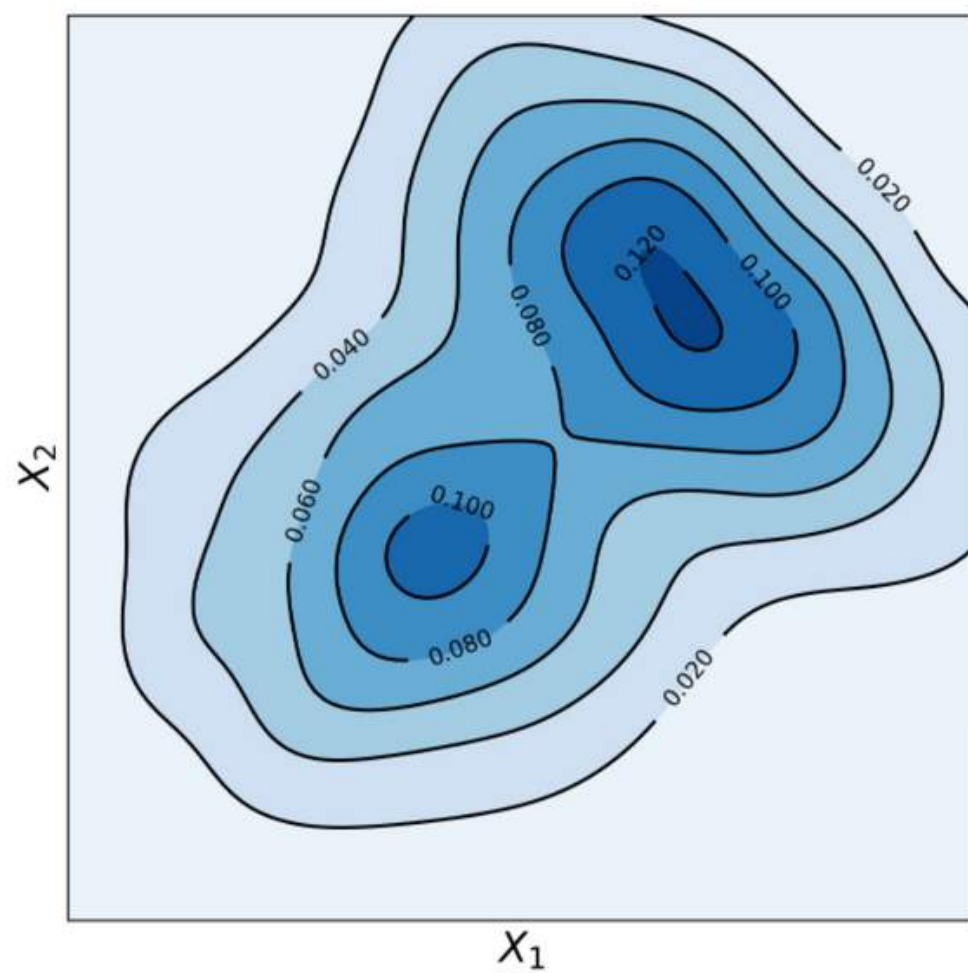
VAE и GAN преобразуют Z в X необратимо.

Для преобразования X в Z требуется обучать отдельную сеть **Encoder**.

Нормализационные потоки выучивают **обратимое** преобразование Z в X .


Нормализационные потоки позволяют посчитать $p_x(x)$.

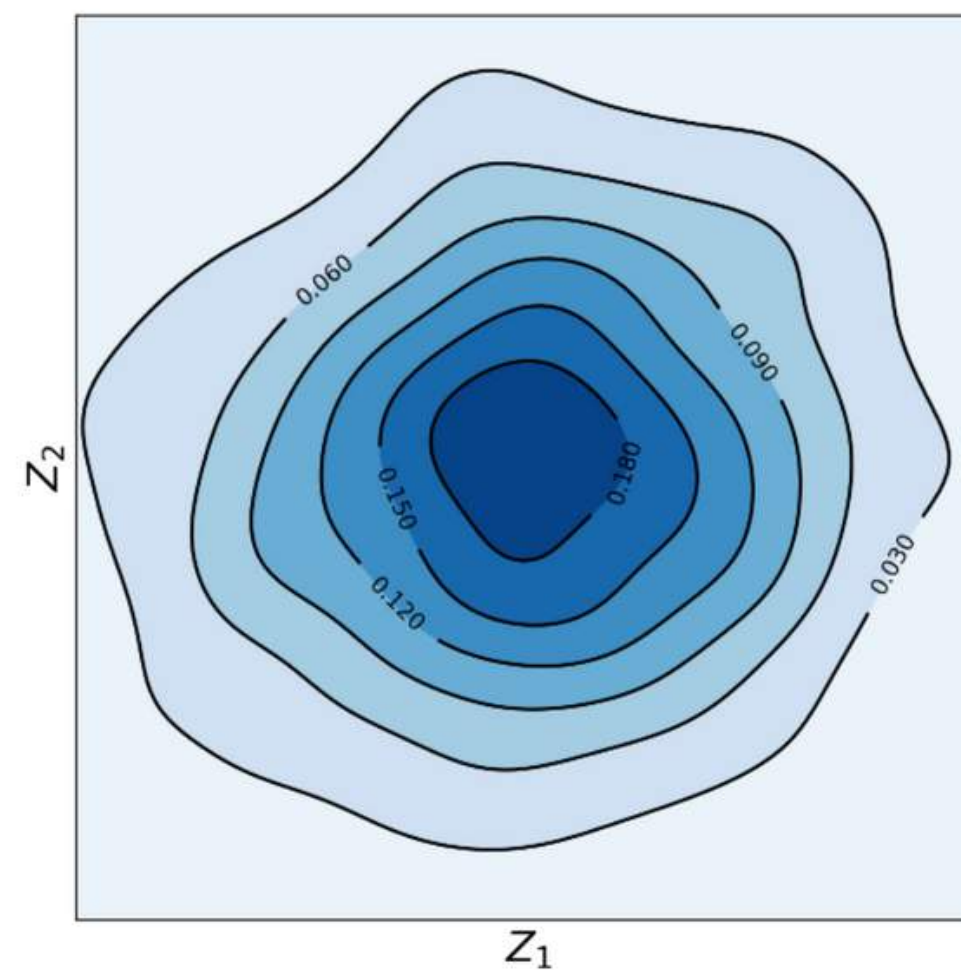




$$x_i \sim p_x(x)$$

$p_x(x)$ - ?

$$z = f(x)$$




$$z_i \sim p_z(z)$$

$p_z(z)$ - известно

Теорема о замене переменной

Пусть даны $p_z(z)$ и $z = f(x)$, тогда $p_x(x)$ находим так:

$$p_x(x_i) = p_z(f(x_i)) \left| \det \frac{\partial f(x_i)}{\partial x_i} \right|,$$

Отношение объема ∂z
к новому объему ∂x

где матрица первых производных определяется так:

$$\frac{\partial f(x_i)}{\partial x_i} = \begin{pmatrix} \frac{\partial f(x_i)_1}{\partial x_{i1}} & \dots & \frac{\partial f(x_i)_1}{\partial x_{in}} \\ \vdots & \ddots & \vdots \\ \frac{\partial f(x_i)_m}{\partial x_{i1}} & \dots & \frac{\partial f(x_i)_m}{\partial x_{in}} \end{pmatrix}.$$

Обратная замена

Пусть даны $p_z(z)$ и $z = f(x)$, тогда $p_x(x)$ находим так:

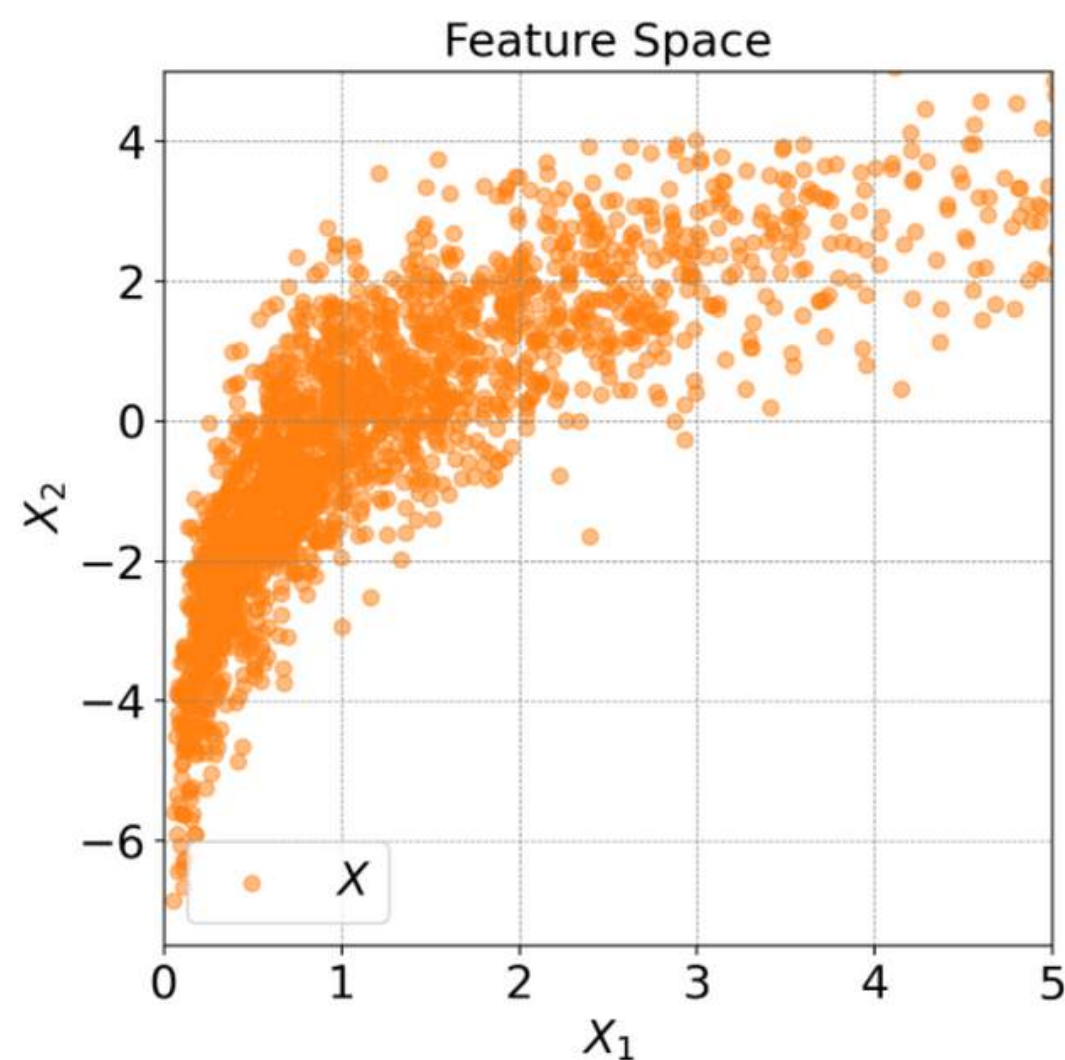
$$p_x(x_i) = p_z(f(x_i)) \left| \det \frac{\partial f(x_i)}{\partial x_i} \right|,$$

Отношение объема ∂z к
новому объему ∂x

Обратная замена переменных:

$$p_z(z_i) = p_x(f^{-1}(z_i)) \left| \det \frac{\partial f^{-1}(z_i)}{\partial z_i} \right|$$

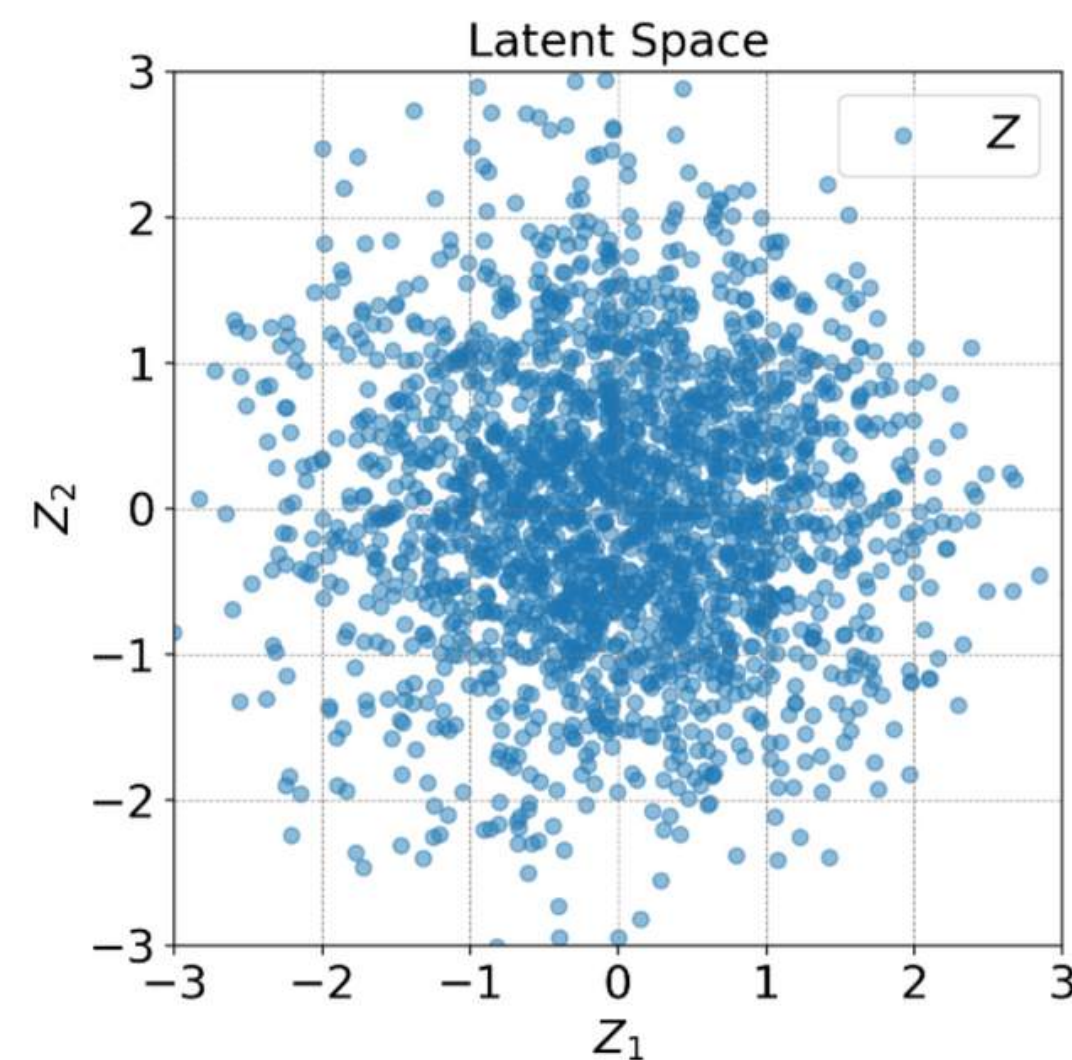
Постановка задачи



$$x_i \sim p_x(x)$$

$$p_x(x) - ?$$

$$z = f(x) - ?$$



$$z_i \sim p_z(z)$$

$$p_z(z) - \text{известно}$$

- ▶ **Дано:** матрица реальных объектов X
- ▶ **Задача:** найти такую $z_i = f(x_i)$, чтобы $z_i \sim p_z(z)$. При этом, $p_z(z)$ известно и задано.
 - ▶ Как будем находить $z_i = f(x_i)$?
 - ▶ **Ответ:** методом градиентного спуска!
- ▶ Какую функцию потерь будем оптимизировать?
- ▶ **Ответ:** логарифм правдоподобия:

$$L = -\frac{1}{n} \sum_{i=1}^n \log p_x(x_i)$$

Функция потерь

Функция потерь:

$$L = -\frac{1}{n} \sum_{i=1}^n \log p_x(x_i)$$

Замена переменных:

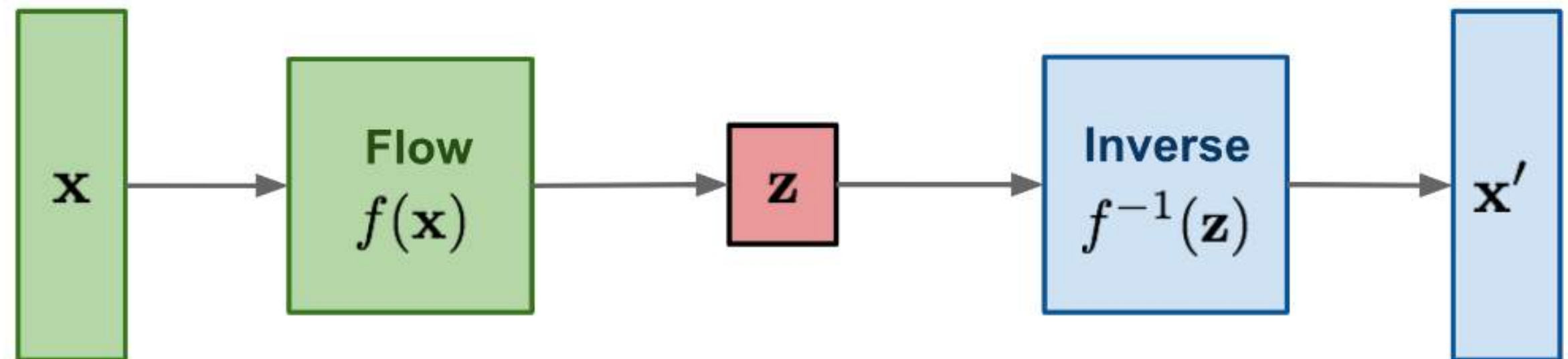
$$p_x(x_i) = \mathbf{p}_z(\mathbf{f}(x_i)) \left| \det \frac{\partial \mathbf{f}(x_i)}{\partial x_i} \right|$$

Подставим в функцию потерь:

$$L = -\frac{1}{n} \sum_{i=1}^n \left(\log \mathbf{p}_z(\mathbf{f}(x_i)) + \log \left| \det \frac{\partial \mathbf{f}(x_i)}{\partial x_i} \right| \right)$$

Алгоритм

**Flow-based
generative models:**
minimize the negative
log-likelihood



Алгоритм обучения

for number of training iterations **do**:

- ▶ Sample m of real objects $\{x_1, x_2, \dots, x_m\}$.
- ▶ Calculate loss function:

$$L = -\frac{1}{m} \sum_{i=1}^m \left(\log \mathbf{p}_z(\mathbf{f}(x_i)) + \log \left| \det \frac{\partial \mathbf{f}(x_i)}{\partial x_i} \right| \right)$$

- ▶ Update parameters of the function $z_i = \mathbf{f}(x_i)$:

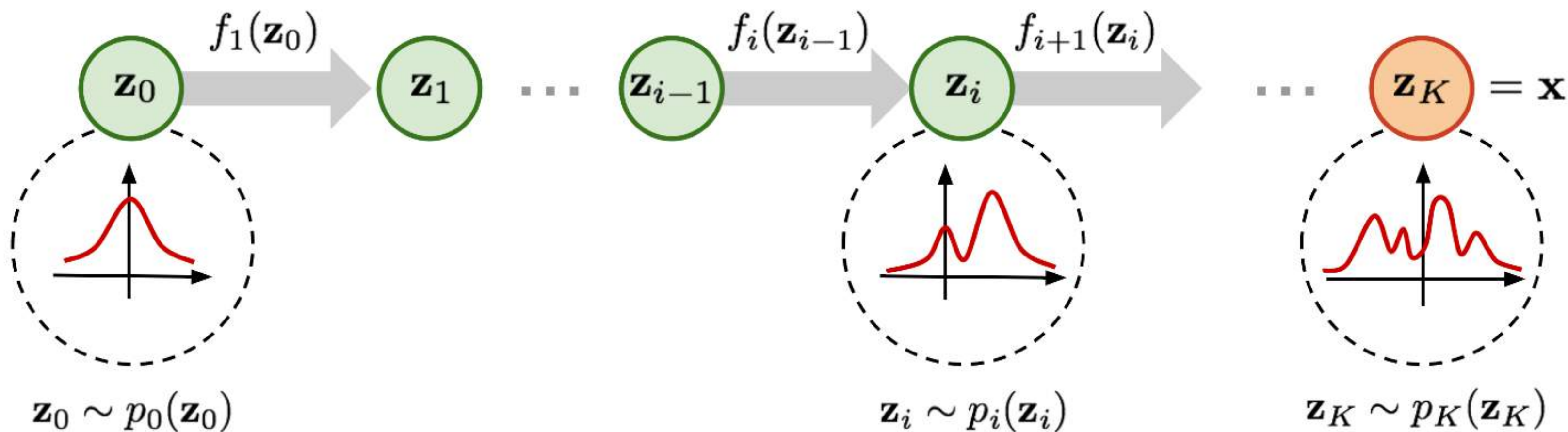
$$\theta_f = \theta_f - \nabla_{\theta_f} L$$

Алгоритм генерации

- ▶ Sample m of noise objects $\{z_1, z_2, \dots, z_m\}$.
- ▶ Generate new objects using the learned function:

$$x_i = f^{-1}(z_i)$$

Добавление слов



Пример с двумя слоями

Пусть $z_i = \mathbf{f}_2(y_i)$, $y_i = \mathbf{f}_1(x_i)$.

Тогда:

$$p_x(x_i) = \mathbf{p}_y(\mathbf{f}_1(x_i)) \left| \det \frac{\partial \mathbf{f}_1(x_i)}{\partial x_i} \right|$$

$$p_y(y_i) = \mathbf{p}_z(\mathbf{f}_2(y_i)) \left| \det \frac{\partial \mathbf{f}_2(y_i)}{\partial y_i} \right|$$

В итоге получим:

$$p_x(x_i) = \mathbf{p}_z(\mathbf{f}_2(\mathbf{f}_1(x_i))) \left| \det \frac{\partial \mathbf{f}_2(y_i)}{\partial y_i} \right| \left| \det \frac{\partial \mathbf{f}_1(x_i)}{\partial x_i} \right|$$

Критерии функции f

Как выбрать такую функцию $z_i = f(x_i)$, чтобы она:

- ▶ была дифференцируемой,
- ▶ была обратимой?

Примеры:

Real-NVP

$$z = \mathbf{f}(x) = \begin{cases} z_{1:d} = x_{1:d} \\ z_{d+1:D} = x_{d+1:D} \odot \exp(\mathbf{s}(x_{1:d})) + \mathbf{t}(x_{1:d}) \end{cases}$$

где:

- ▶ $z_{1:d}$ - первые d компонент вектора z ;
- ▶ $\mathbf{s}(x_{1:d})$ и $\mathbf{t}(x_{1:d})$ – **нейронные сети** с d входами и $D - d$ выходами;
- ▶ \odot - поэлементное умножение.

Real-NVP

- ▶ Матрица первых производных:

$$\frac{\partial \mathbf{f}(x)}{\partial x} = \begin{pmatrix} \mathbb{I}_d & 0 \\ \frac{\partial z_{1:d}}{\partial x_{1:d}} & \text{diag}(\exp(\mathbf{s}(x_{1:d}))) \end{pmatrix}$$

- ▶ Значение Якобиана:

$$\left| \det \frac{\partial \mathbf{f}(x)}{\partial x} \right| = \exp\left(\sum_{j=d+1}^D \mathbf{s}(x_{1:d})_j \right)$$

$$x = \mathbf{f}^{-1}(z) = \begin{cases} x_{1:d} = z_{1:d} \\ x_{d+1:D} = (z_{d+1:D} - \mathbf{t}(x_{1:d})) \odot \exp(-\mathbf{s}(x_{1:d})) \end{cases}$$



Рис.: https://github.com/laurent-dinh/laurent-dinh.github.io/blob/master/img/real_nvp_fig/celeba_samples.png

Masked Autoregressive Flow

$$z = \mathbf{f}(x) = \begin{cases} z_1 = (x_1 - \mu_1) \exp(-s_1) \\ z_d = (x_d - \mu_d(x_{1:d-1})) \odot \exp(-s_d(x_{1:d-1})) \end{cases}$$

где:

- ▶ $z_{1:d}$ - первые d компонент вектора z ;
- ▶ $\mu_d(x_{1:d-1})$ и $s_d(x_{1:d-1})$ – **нейронные сети** с $d - 1$ входами и 1 выходом;
- ▶ \odot - поэлементное умножение.
- ▶ Матрица первых производных **нижнетреугольная**:

$$\frac{\partial \mathbf{f}(x)}{\partial x} = \begin{pmatrix} \exp(-s_1) & \cdots & 0 \\ \vdots & \ddots & \vdots \\ \frac{\partial z_D}{\partial x_1} & \cdots & \exp(-s_D(x_{1:D-1})) \end{pmatrix}$$

Masked Autoregressive Flow

- ▶ Значение Якобиана:

$$\left| \det \frac{\partial \mathbf{f}(x)}{\partial x} \right| = \exp\left(-\sum_{j=1}^D \mathbf{s}_d(x_{1:d-1})\right)$$

$$x = \mathbf{f}^{-1}(z) = \begin{cases} x_1 = z_1 \exp(s_1) + \mu_1 \\ x_d = z_d \exp(\mathbf{s}_d(x_{1:d-1})) + \boldsymbol{\mu}_d(x_{1:d-1}) \end{cases}$$



(a) Generated images



(b) Real images

Inverse Autoregressive Flow (IAF)

$$z = \mathbf{f}(x) = \begin{cases} z_1 = (x_1 - \mu_1) \exp(-s_1) \\ z_d = (x_d - \boldsymbol{\mu}_d(z_{1:d-1})) \exp(-\mathbf{s}_d(z_{1:d-1})) \end{cases}$$

$$x = \mathbf{f}^{-1}(z) = \begin{cases} x_1 = z_1 \exp(s_1) + \mu_1 \\ x_d = z_d \exp(\mathbf{s}_d(z_{1:d-1})) + \boldsymbol{\mu}_d(z_{1:d-1}) \end{cases}$$

Спасибо за внимание